造方天体観測で描く宇宙再電路史

梅田濕也

東京大学/宇宙總研究所

EET FY2025 @ 京都大学



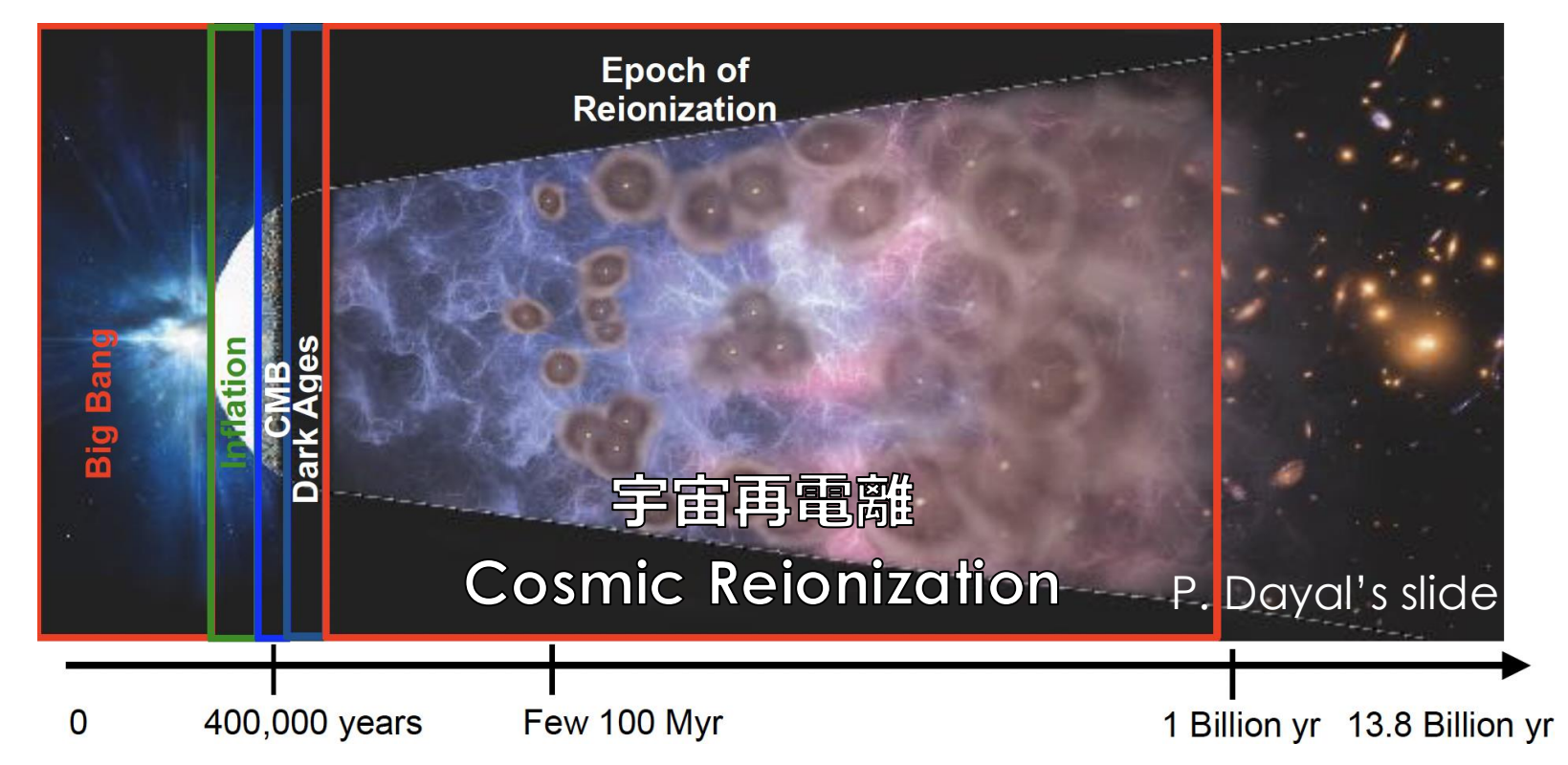


アウトライン

- 1. 宇宙再電離について
- 2. 宇宙再電離史の観測制限
- 3. JWSTの登場と宇宙再電離史
- 4. 宇宙再電離史とその他銀河観測の整合性
- 5. 宇宙再電離研究の今後
 - Roman, HiZ GUNDAM, 21cm線

宇宙再電離とは?

ビッグバン、再結合の後、中性銀河間H(+He)ガスが 銀河などの紫外光放射により電離 銀河形成により宇宙全体の"状態が変化"



宇宙再電離の課題

いつ始まり完了したのか? (1.再電離史)

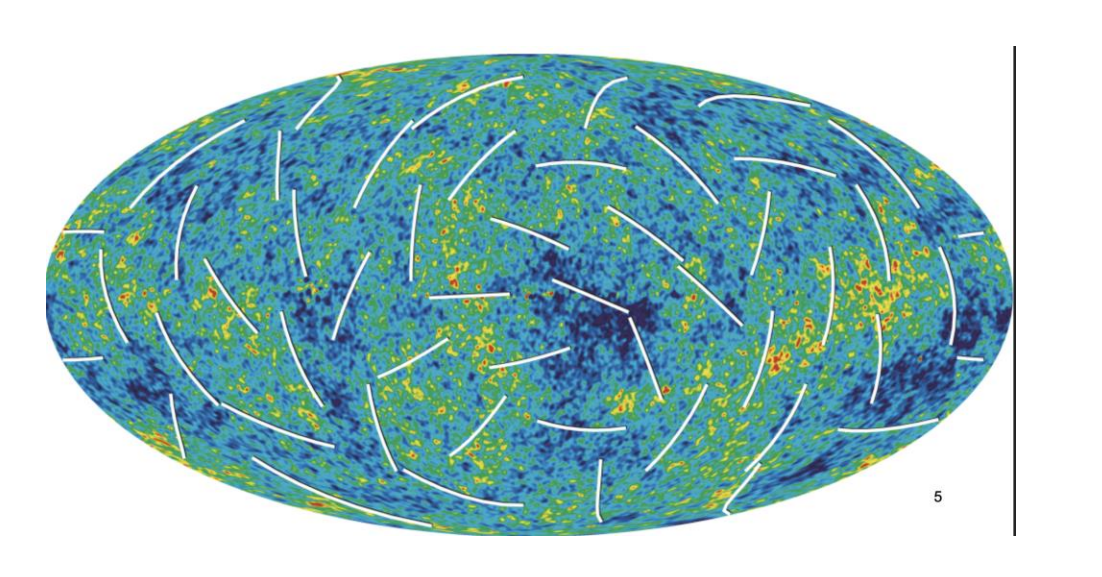
何に引き起こされたのか? (2.電離源)

どう電離領域が拡大したのか? (3.電離構造)

宇宙再電離史
x_{HI}=n_{HI}/n_H
の時間(赤方偏移)変化を見る

CMBの電子散乱から見る 宇宙再電離

CMBと電子のトムソン散乱 →大スケールで温度揺らぎ生じる(偏光) 銀河間ガス電離が大体z~10で起こった



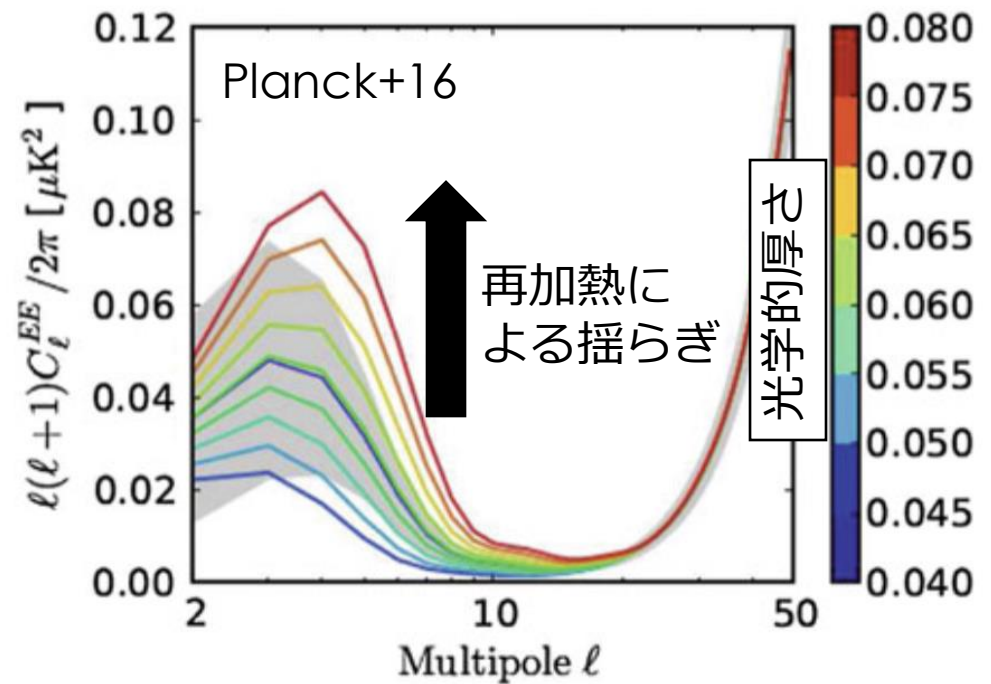
CMBの偏光から トムソン散乱の光学的厚さ推定

$$\tau_e = \sigma_T \int_0^z n_e(z') \frac{dl(z')}{dz'} dz'$$

- *電子の柱密度しかわからない
- *xHI(z)はわからない

^{*}see also kSZ effect, patchy screening effect *see also ACT & SPT's recent measurements





CMBの偏光から トムソン散乱の光学的厚さ推定

$$\tau_e = \sigma_T \int_0^z n_e(z') \frac{dl(z')}{dz'} dz'$$

- *電子の柱密度しかわからない
- *xHI(z)はわからない

^{*}see also kSZ effect, patchy screening effect *see also ACT & SPT's recent measurements

HIガスの吸収から見る 宇宙再電離

HI Lya線(共鳴線)の吸収から HIガスの量を推定

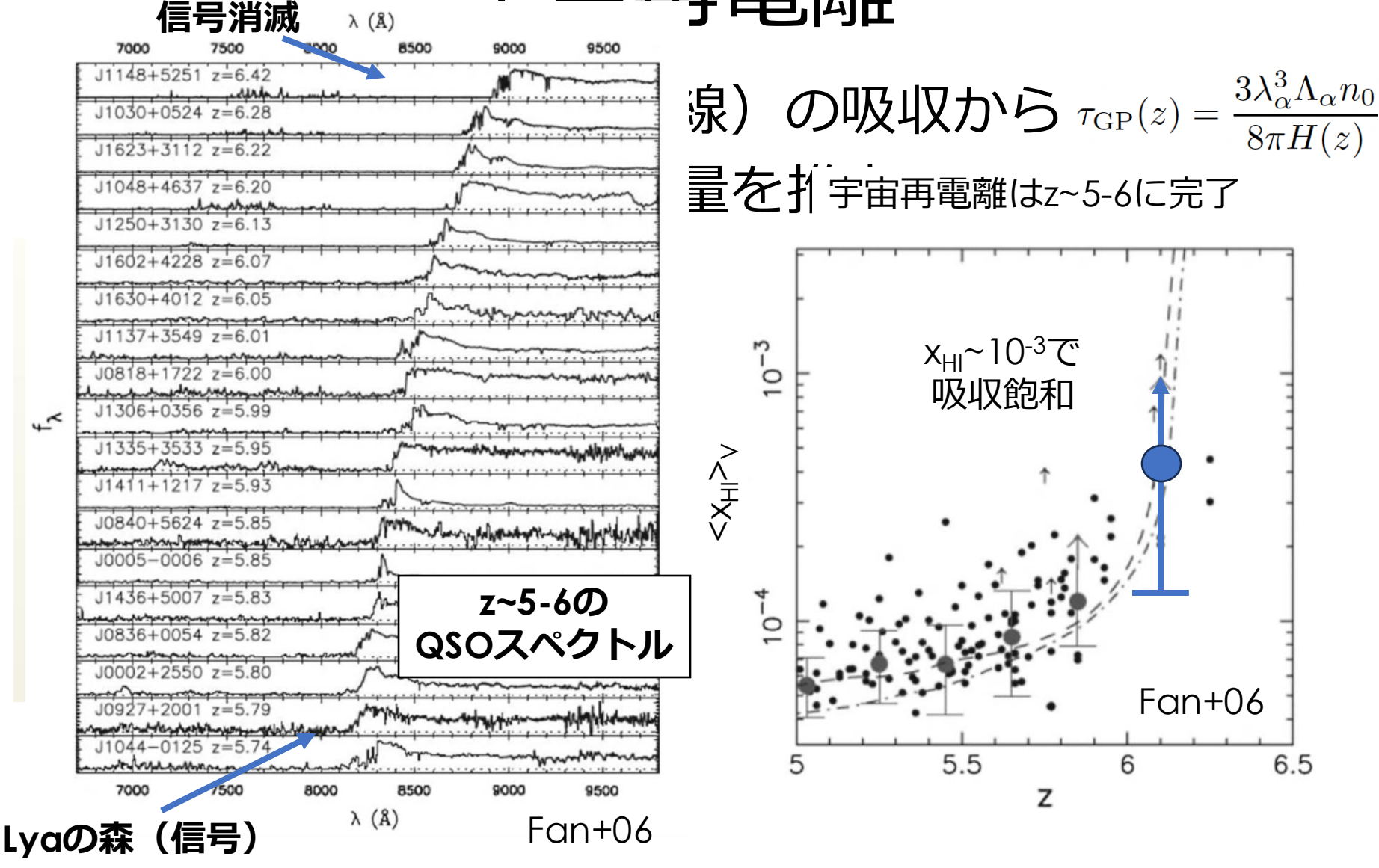




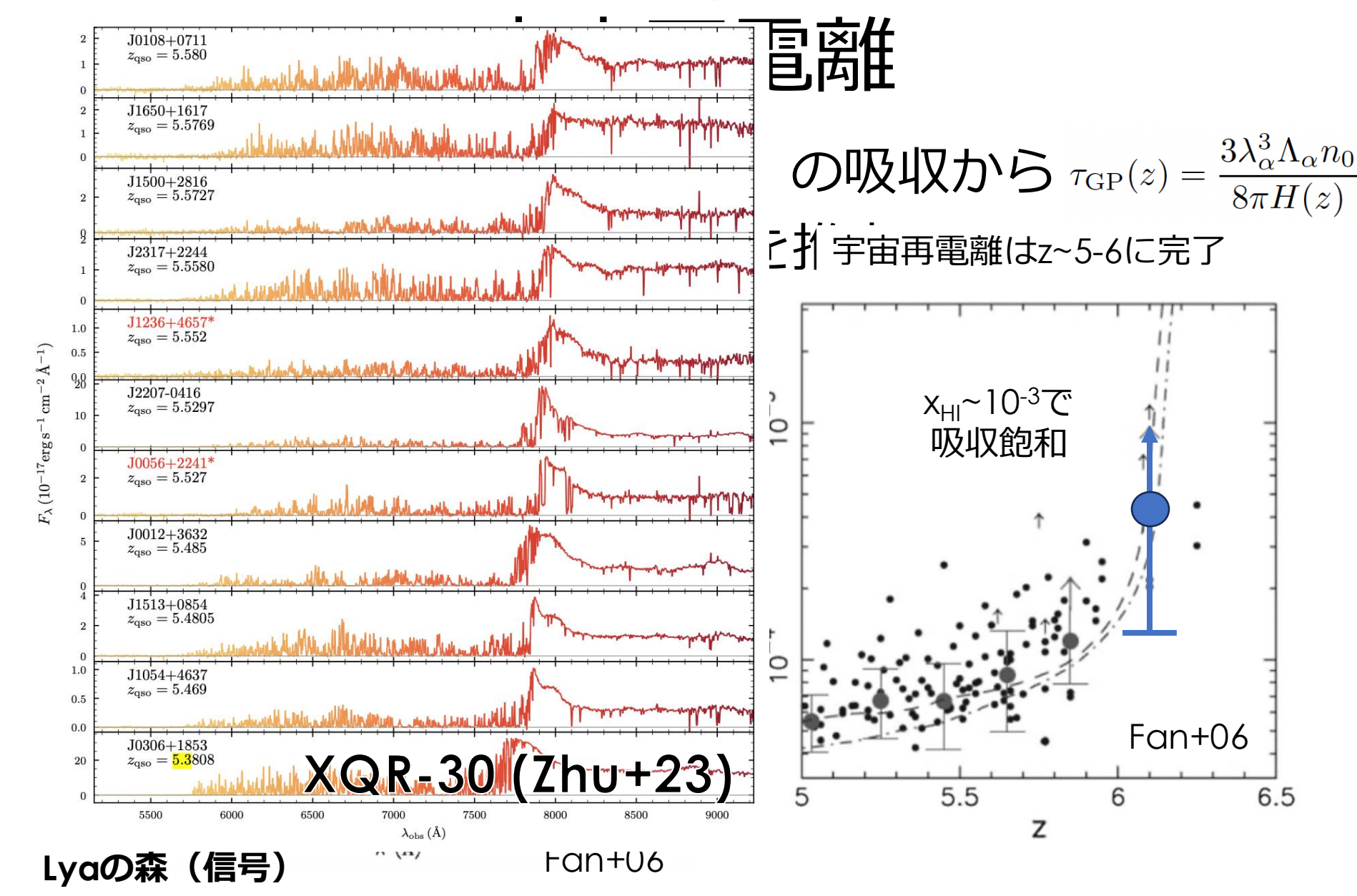
非常に明るい 散乱されやすい



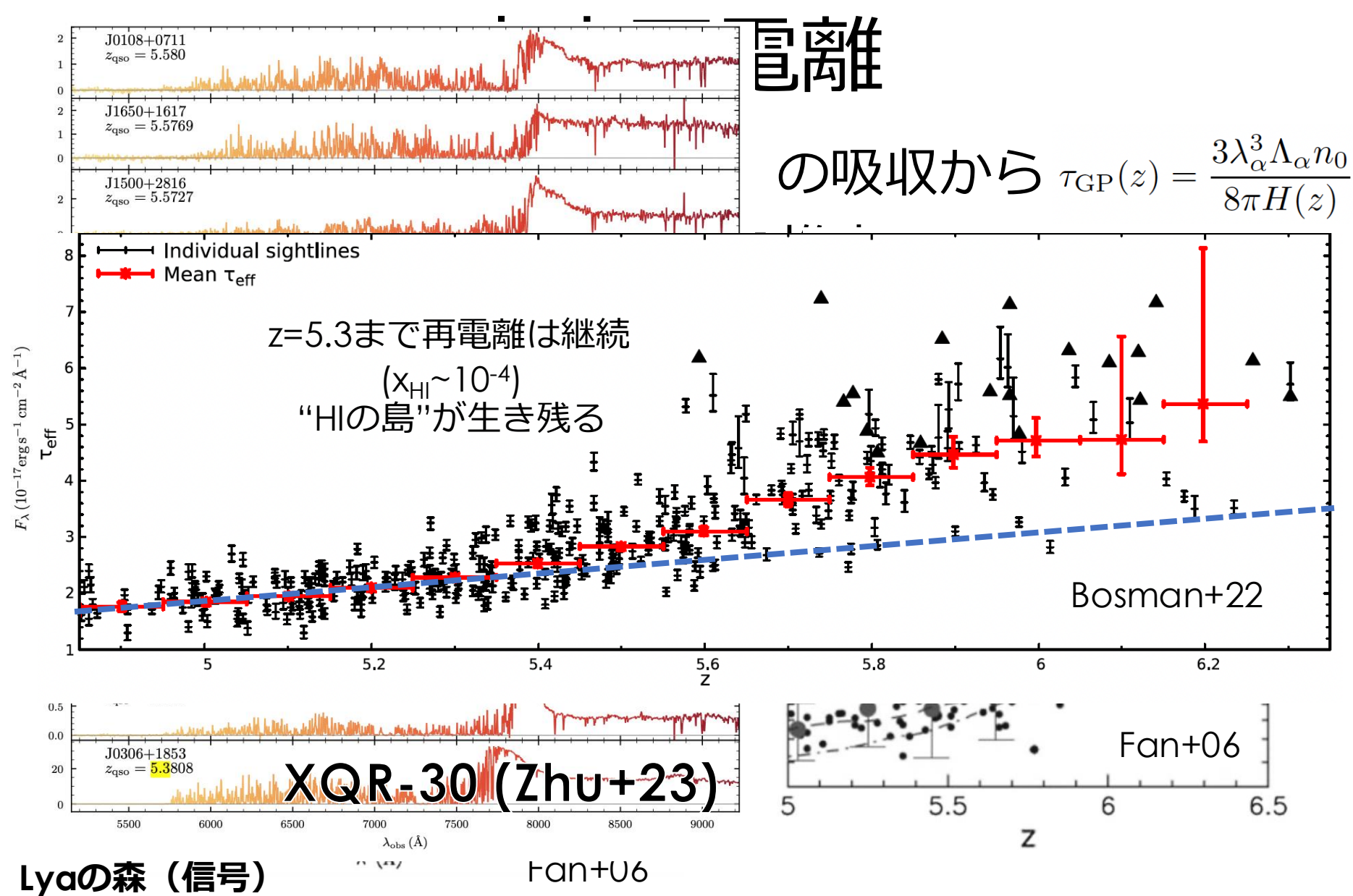
Hガスの吸収から見る 宝宙再雷離



HIガスの吸収から見る

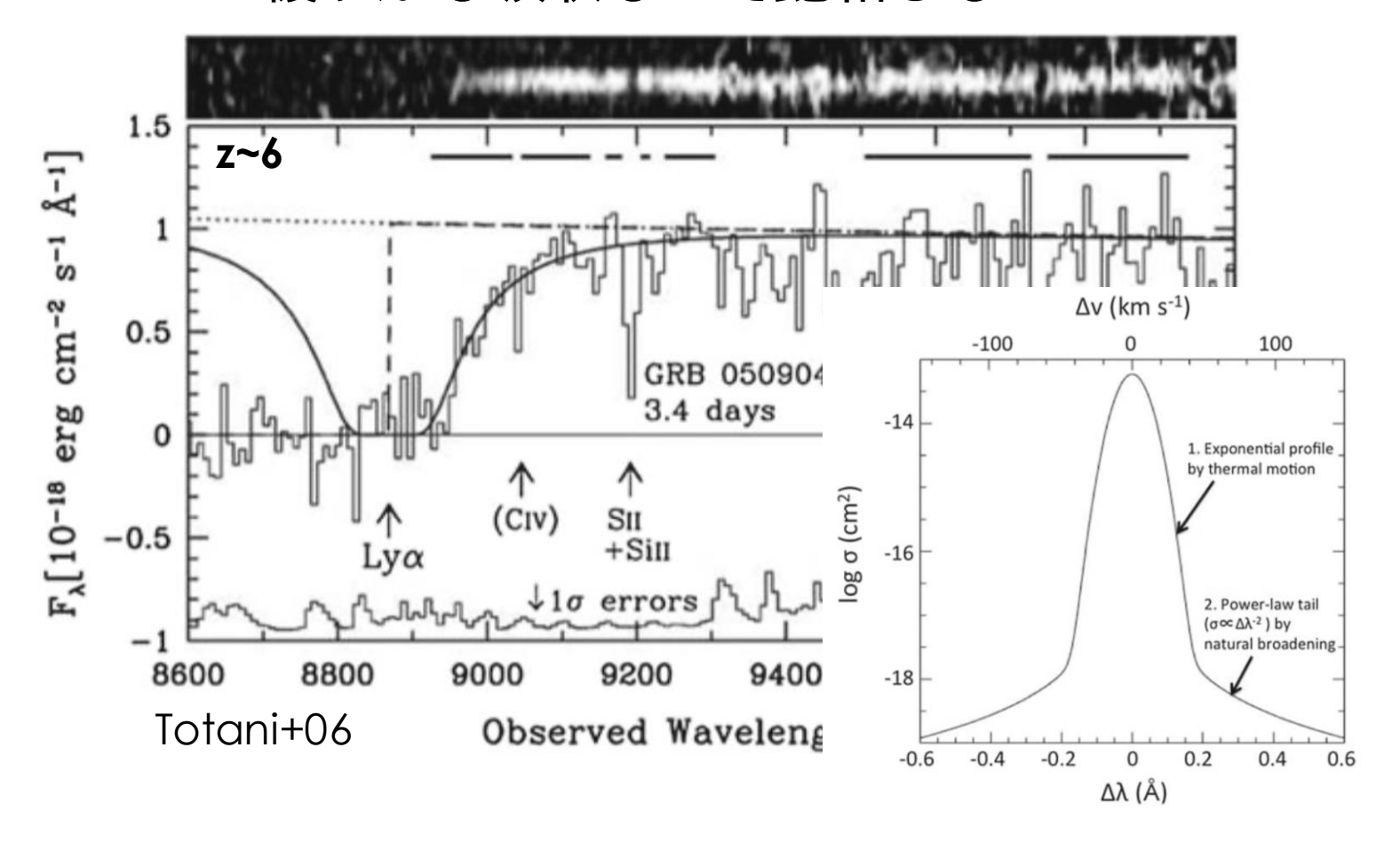


HIガスの吸収から見る



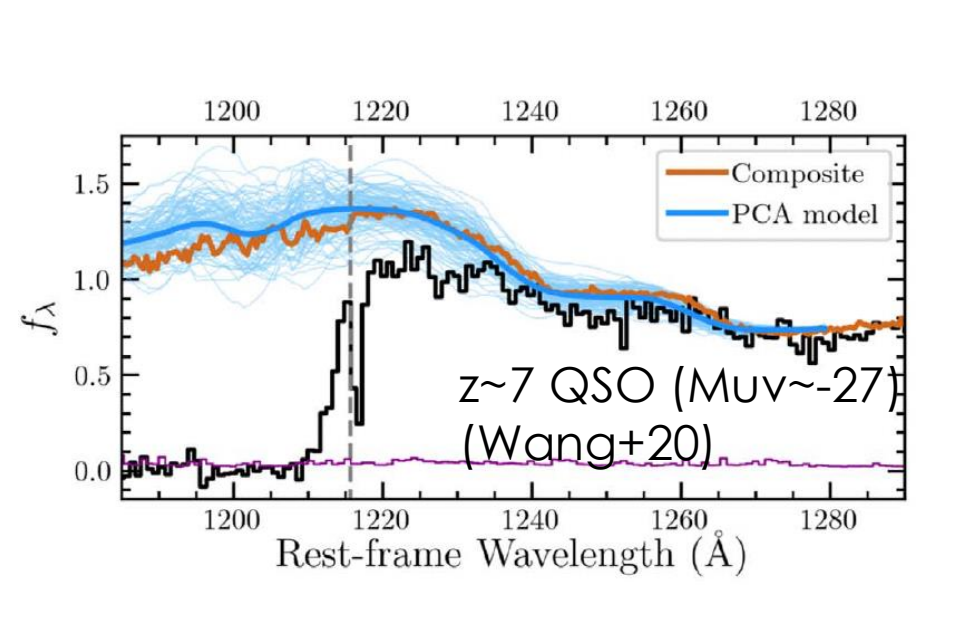
GRBのUV残光による 減衰翼吸収の検出

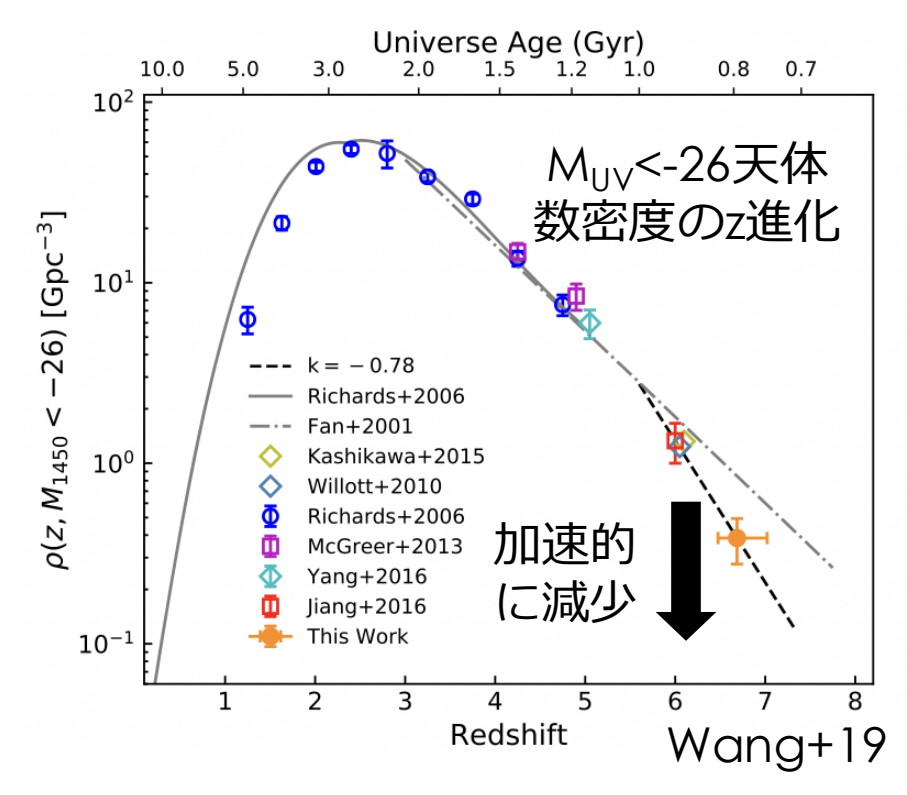
IGM HI量が高い→ Lya減衰翼吸収からxHI測定 *緩やかな吸収なので飽和しない



明るい背景光は少ない

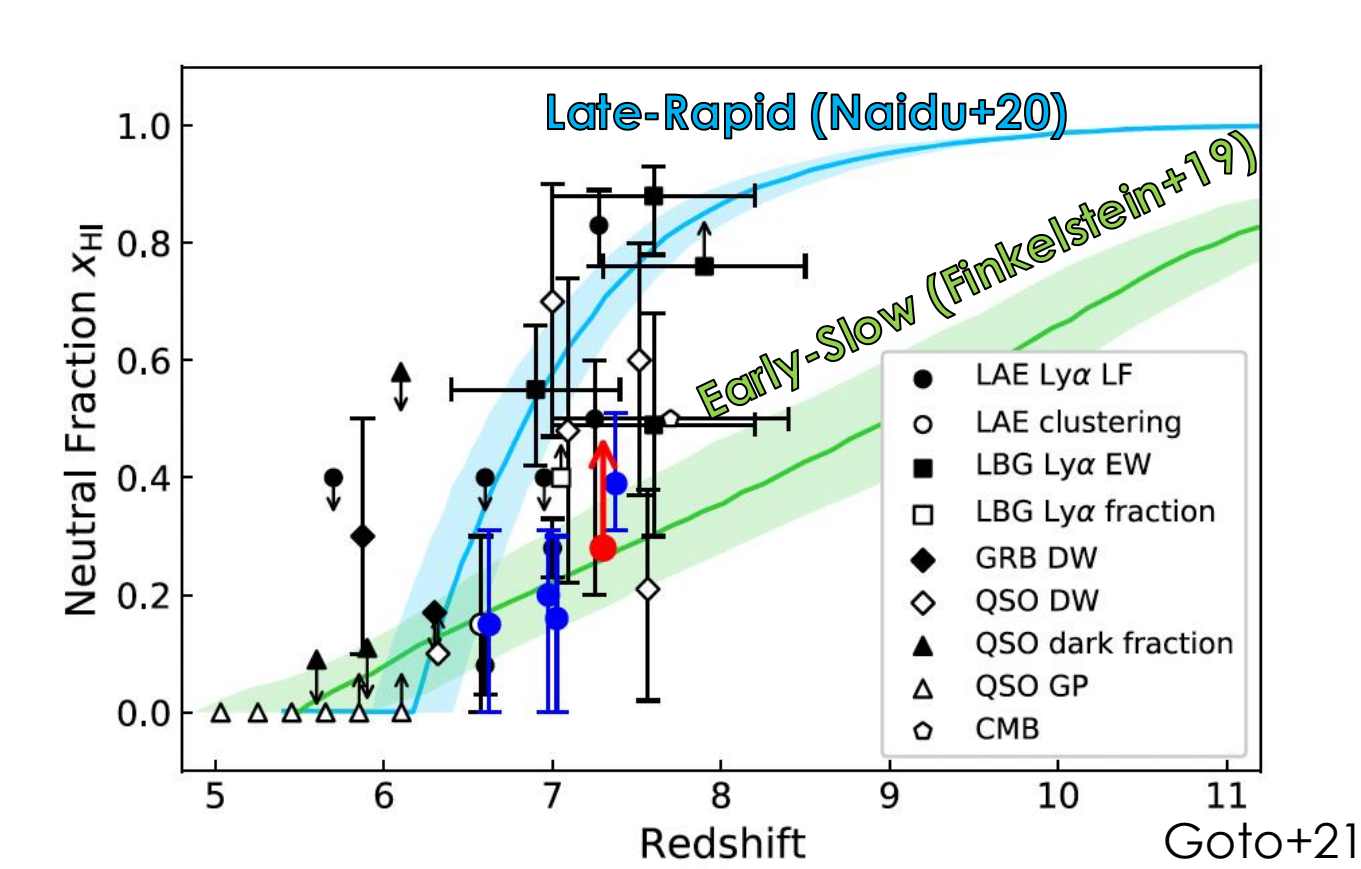
GRBやQSOを背景光→z~7.5まで成果 その先は明るい光源が検出できない...



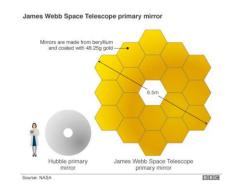


観測の壁

xHI=n_{HI}/n_H:中性水素割合 z~7で観測制限が止まっている@2021

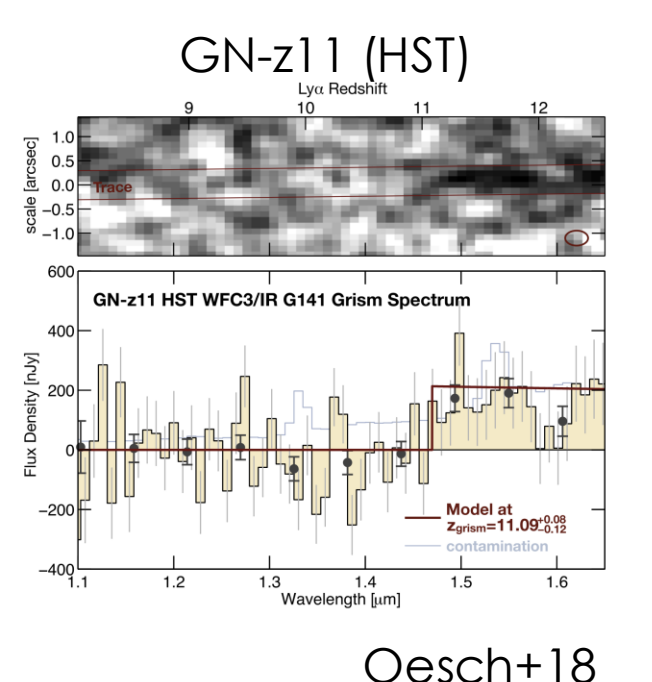


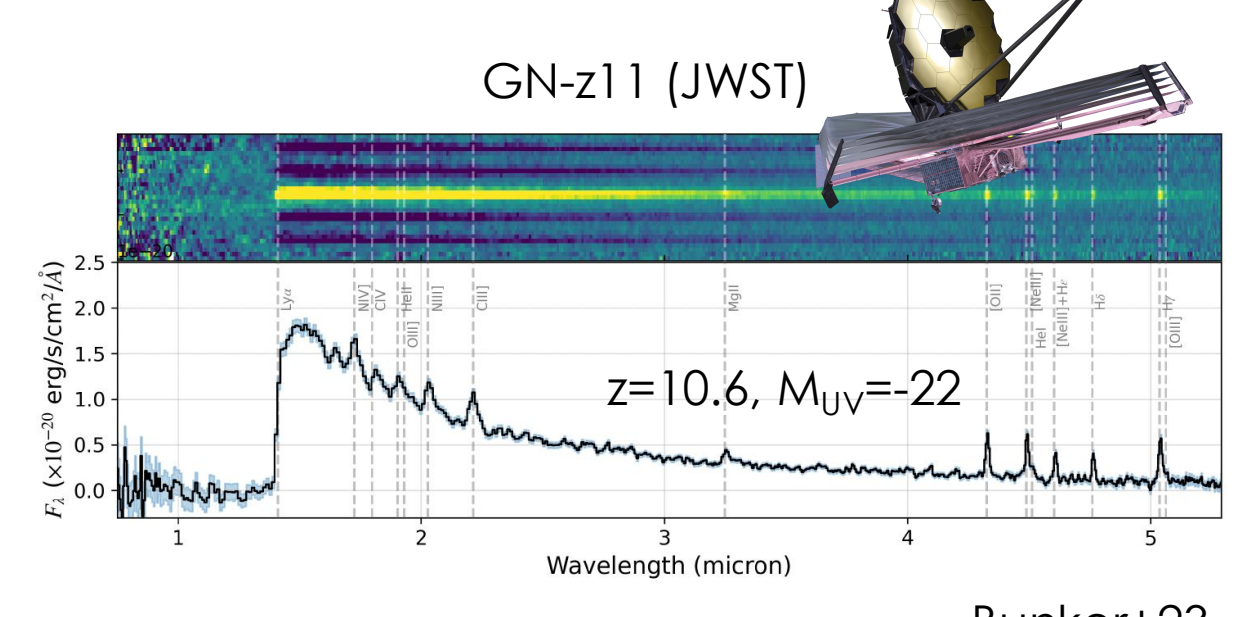
James Webb の登場



James Webb宇宙望遠鏡(JWST)のNIRSpec分光

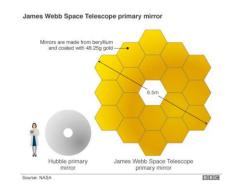
→銀河(M_{UV}>-23)のUV連続光も検出可能





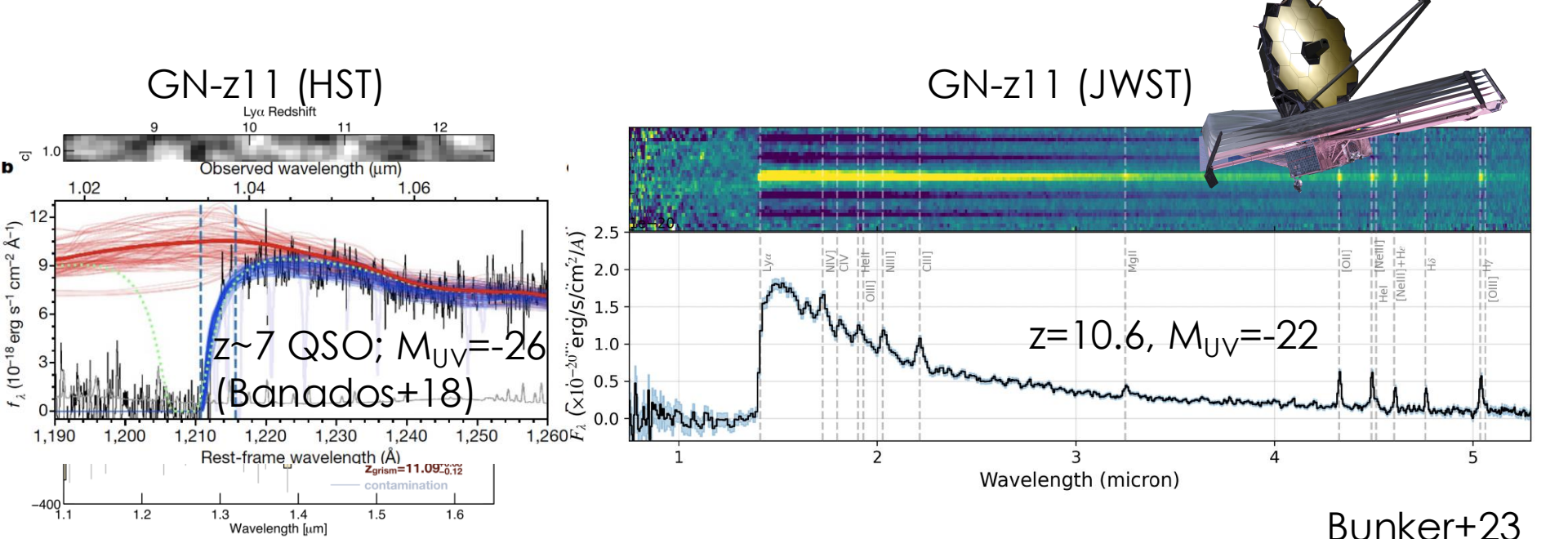
Bunker+23

James Webb の登場



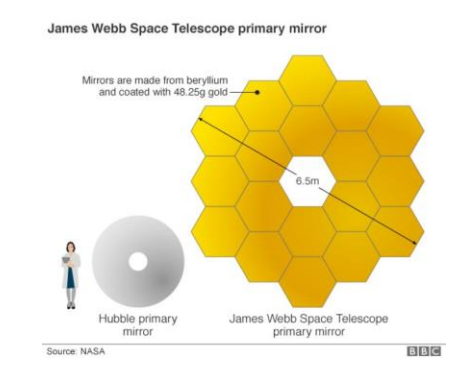
James Webb宇宙望遠鏡(JWST)のNIRSpec分光

→銀河(M_{UV}>-23)のUV連続光も検出可能

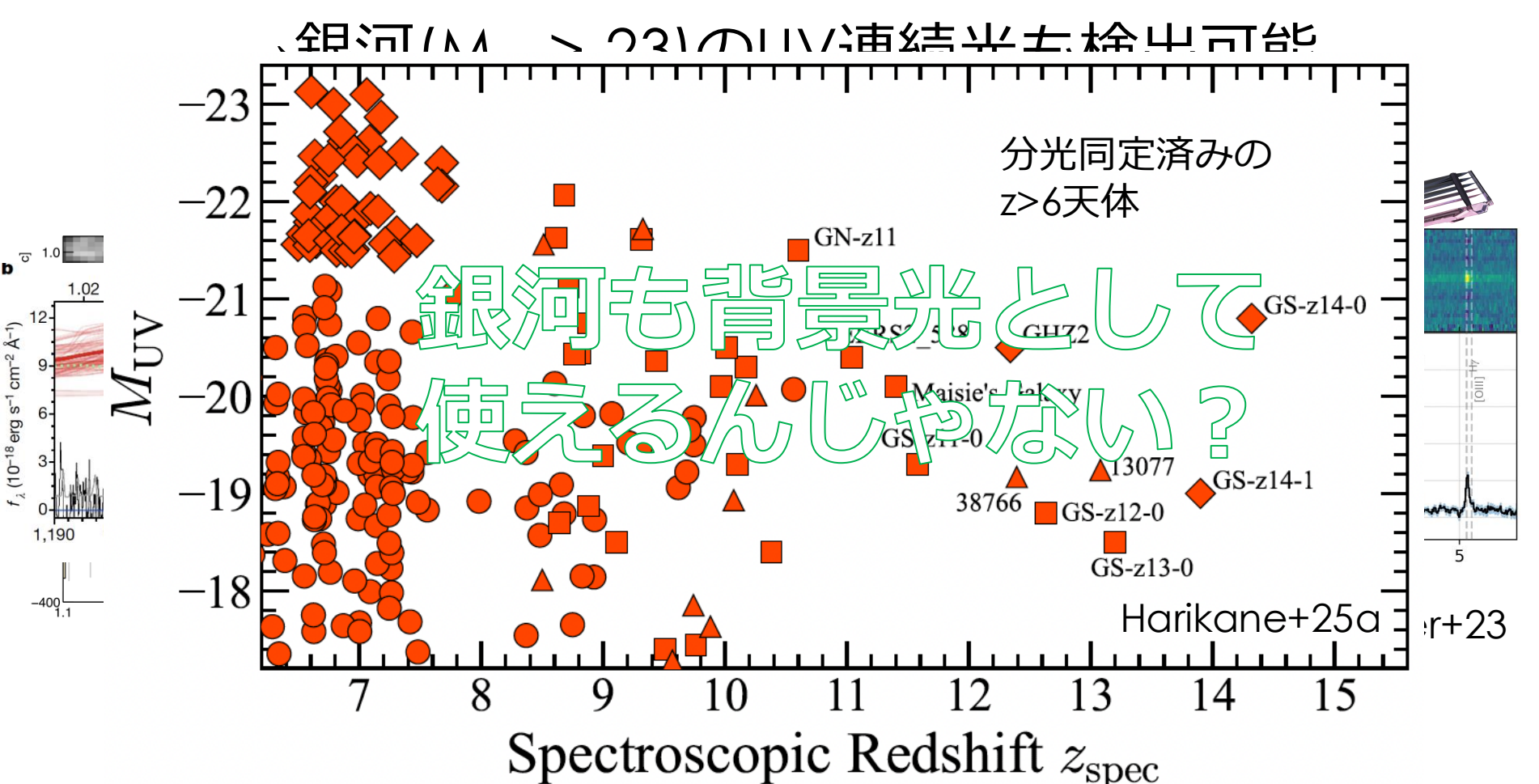


Oesch+18

James Webb の登場

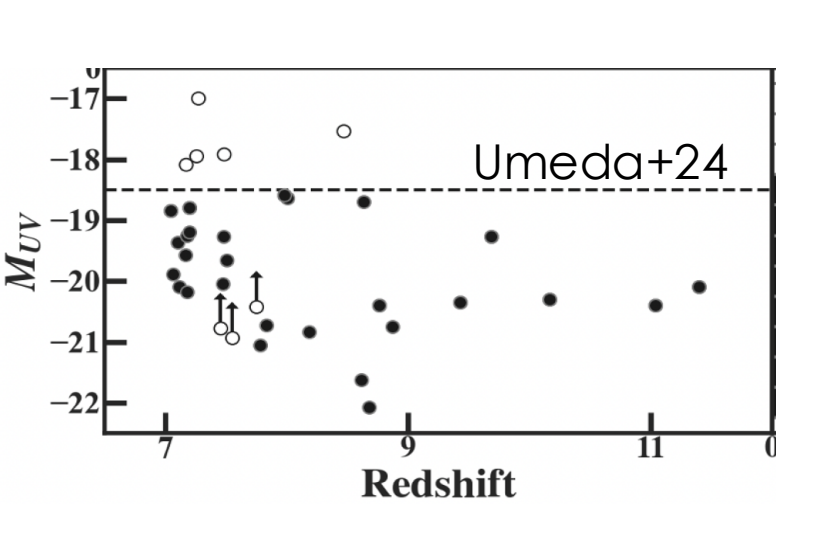


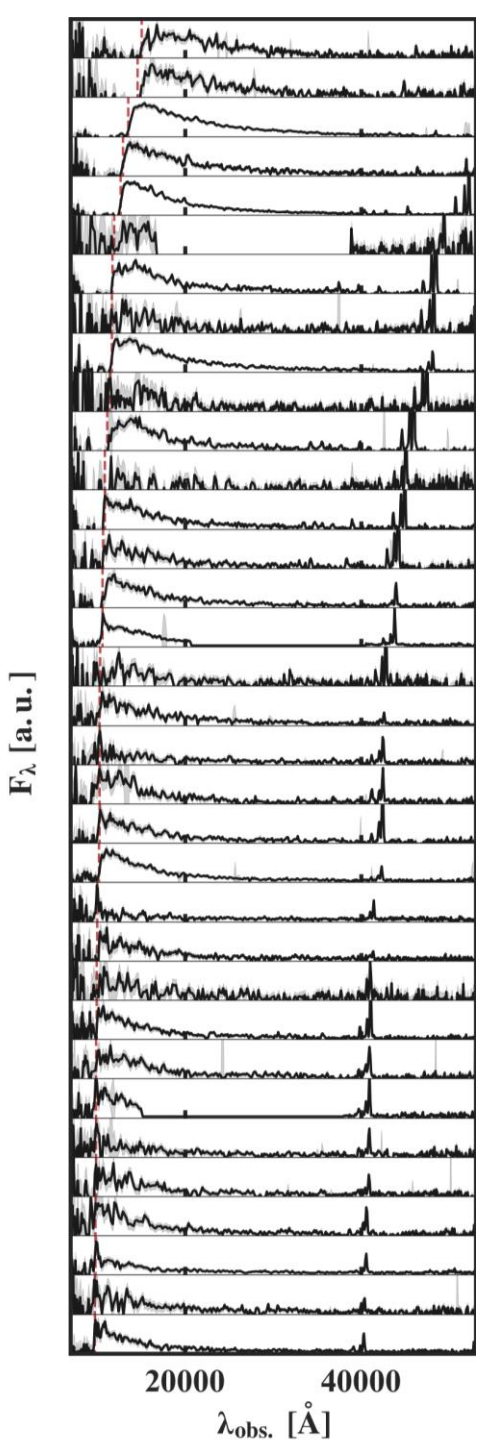
James Webb宇宙望遠鏡(JWST)のNIRSpec分光



JWSTによる Lya Damping Wing吸^J

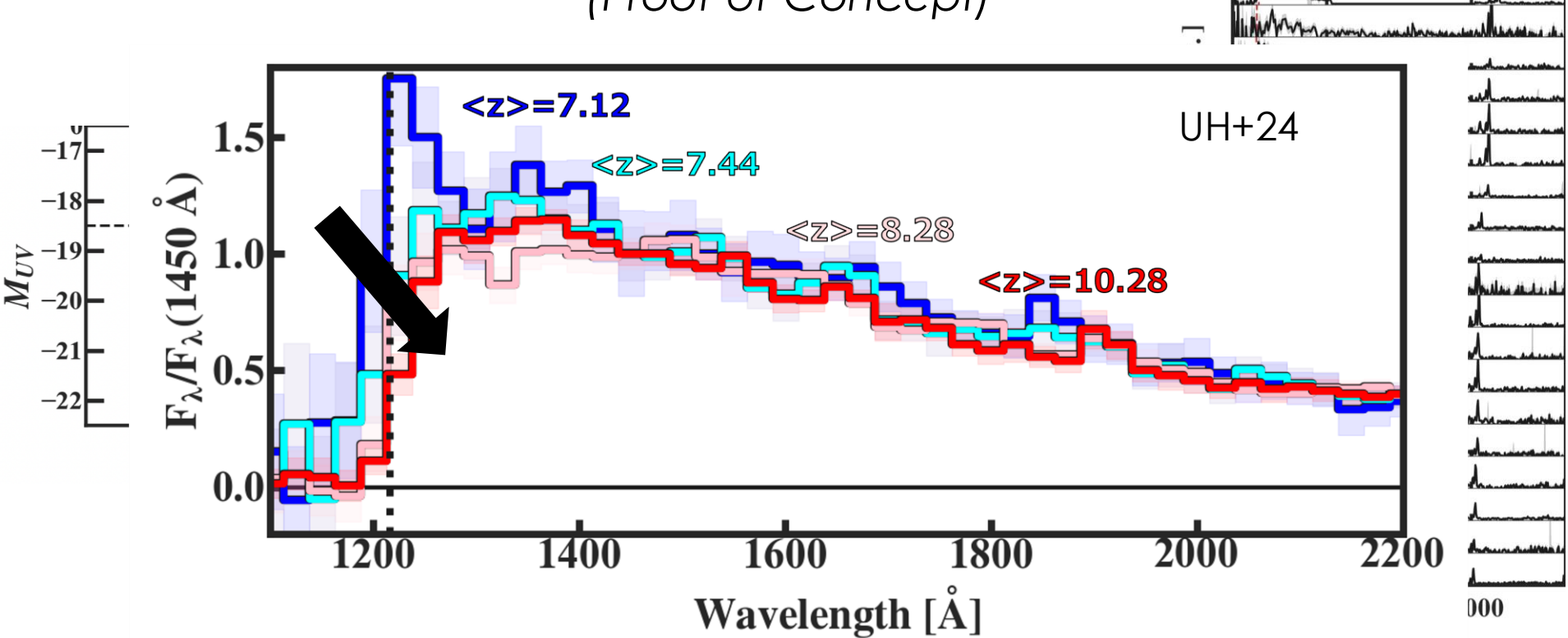
公開データからz>7で輝線同定済♂. →Lya減衰翼の赤方偏移進化(Ume (Proof-of-Concept)





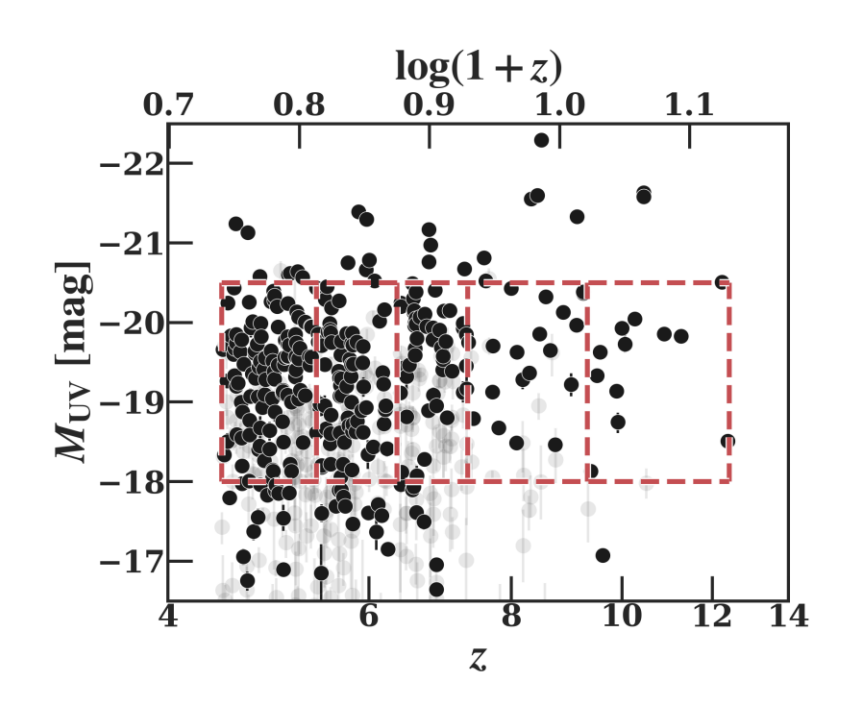
JWSTによる Lya Damping Wing吸

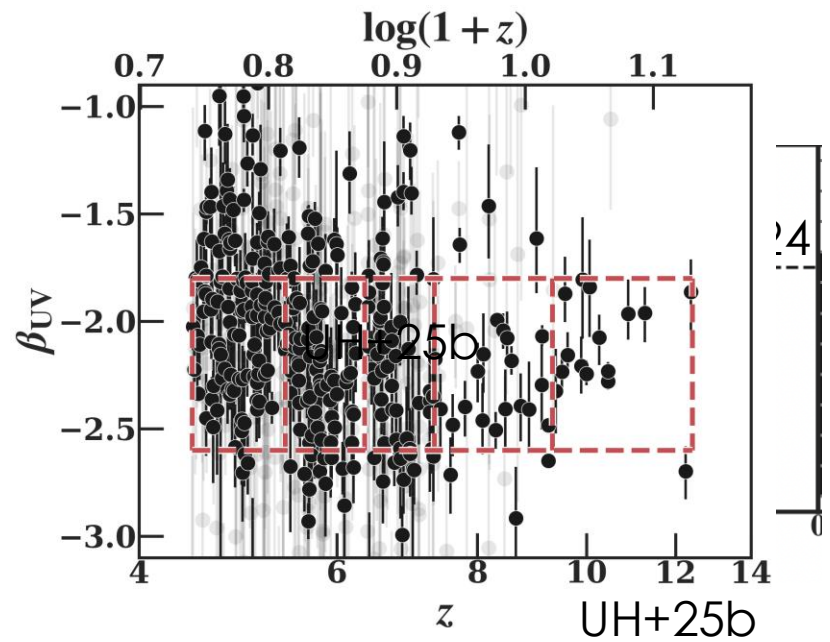
公開データからz>7で輝線同定済♂ →Lya減衰翼の赤方偏移進化(Ume (Proof-of-Concept)

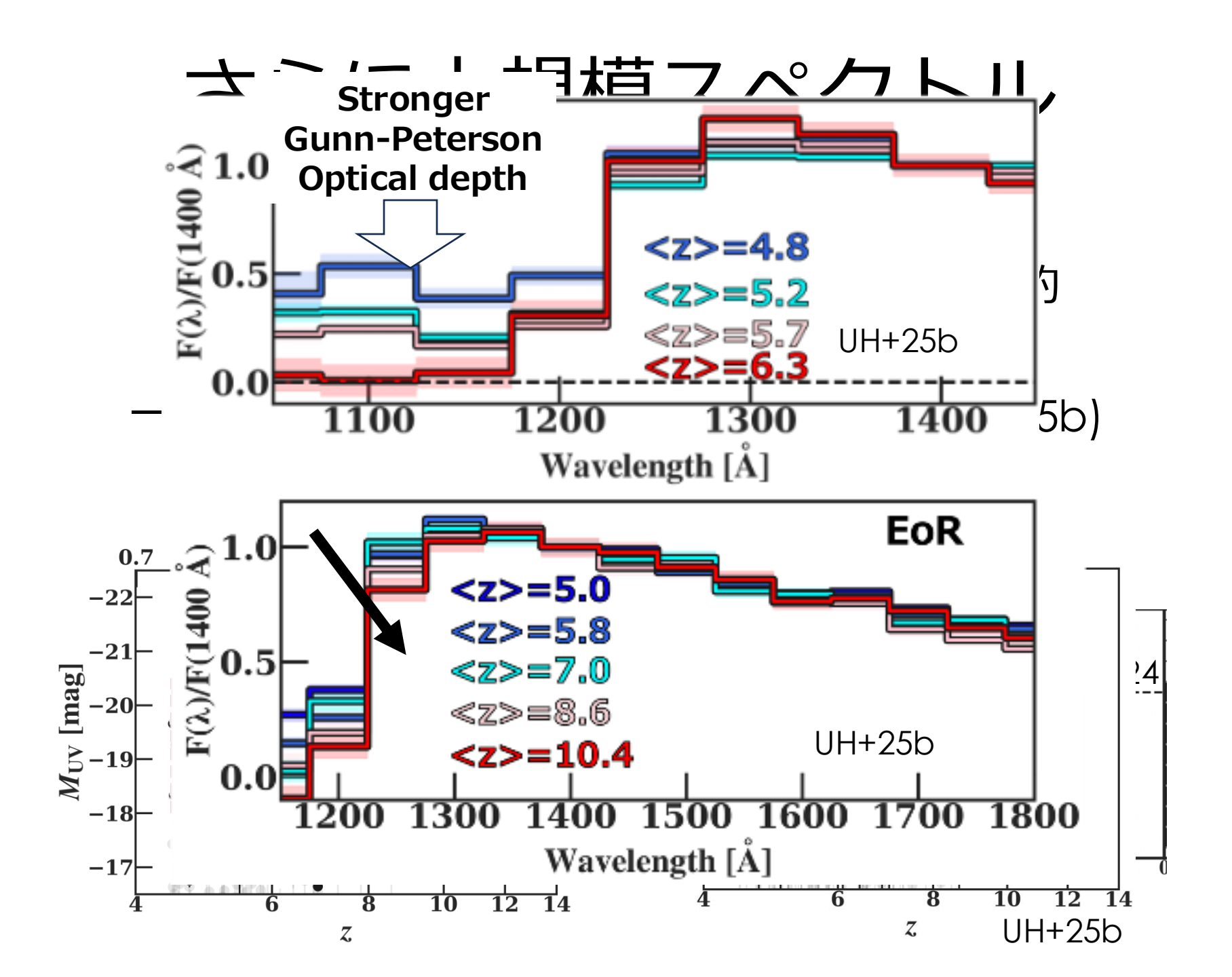


さらに大規模スペクトル での検証

4.5<z<13の~600天体のNIRSpecデータを集約
→UV等級やUV光の波形などを**揃**えた
一様なサンプルでLya減衰翼の解析(Umeda+25b)





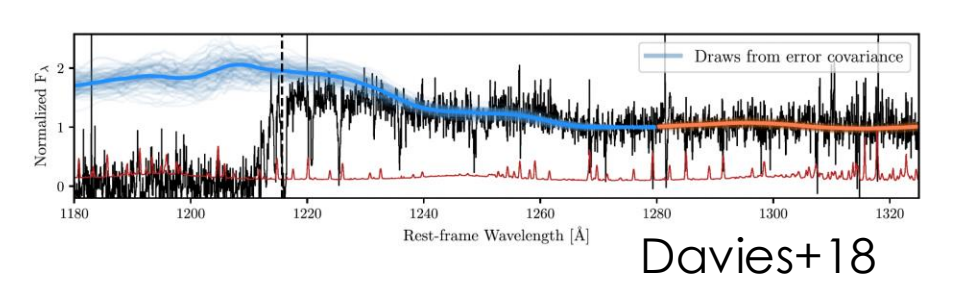


銀河UV連続光を用いた xHI推定

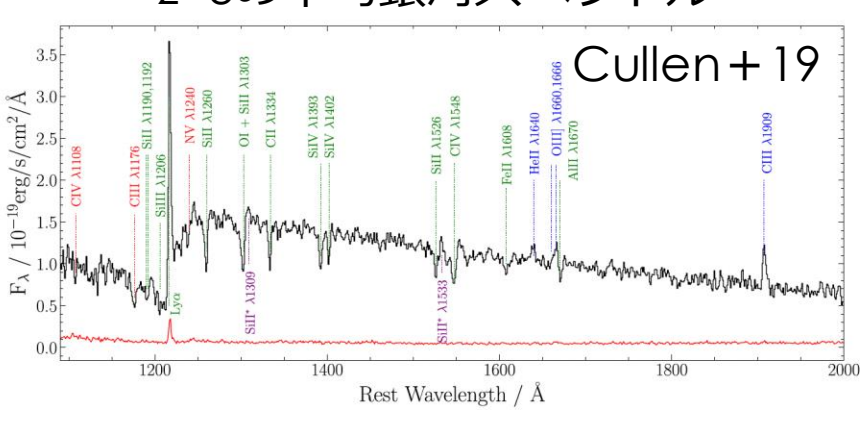
銀河はGRBなどと比べてスペクトルが複雑

- →近傍銀河スペクトルをテンプレートとした推定 (UH+25b)
 - ・近傍の平均銀河スペクトルをテンプレート(host HI吸収等込み) (e.g., VANDELSサーベイ; Cullen+19; QSOなどでも同じことしてる)
 - ・様々な視線方向のIGM吸収を考慮 (e.g., 21cmFAST; Mesinger+09) (see also individual fitting: UH+24, Mason+25; cf.,機械学習: Park+24)

EoR QSOのテンプレートフィット (e.g., Banados+18, Davies+18, Wang+20)



z~3の平均銀河スペクトル



非一様なIGM吸収の処方

Best Fit

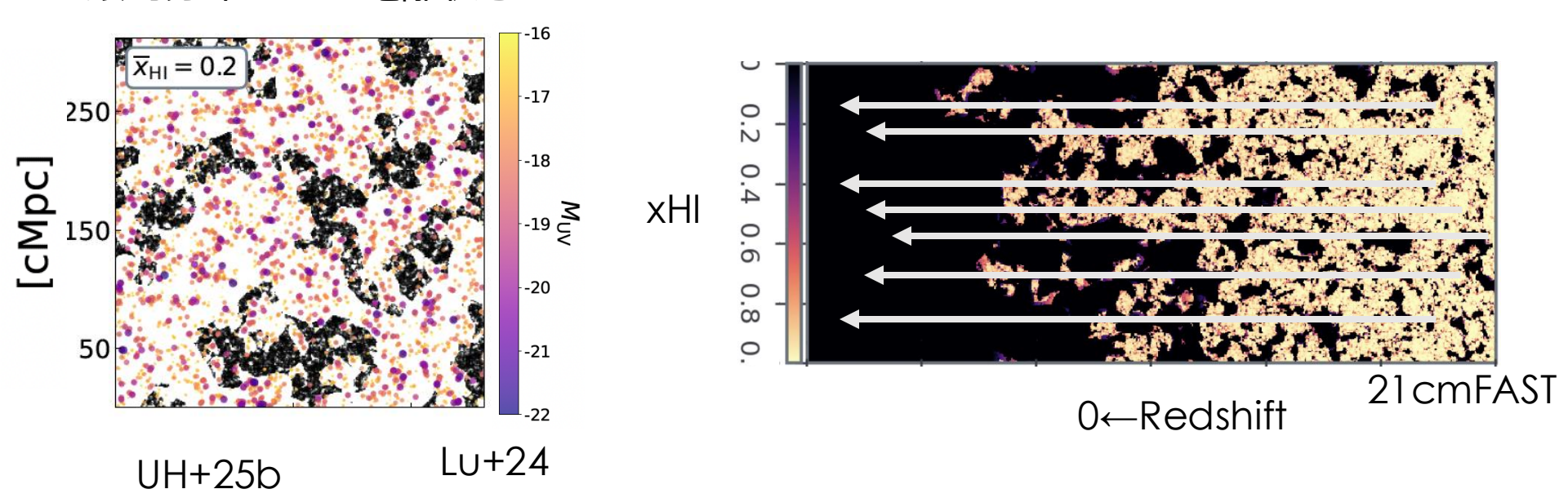
シミュレーションなどで生成された視線上の吸収を処方

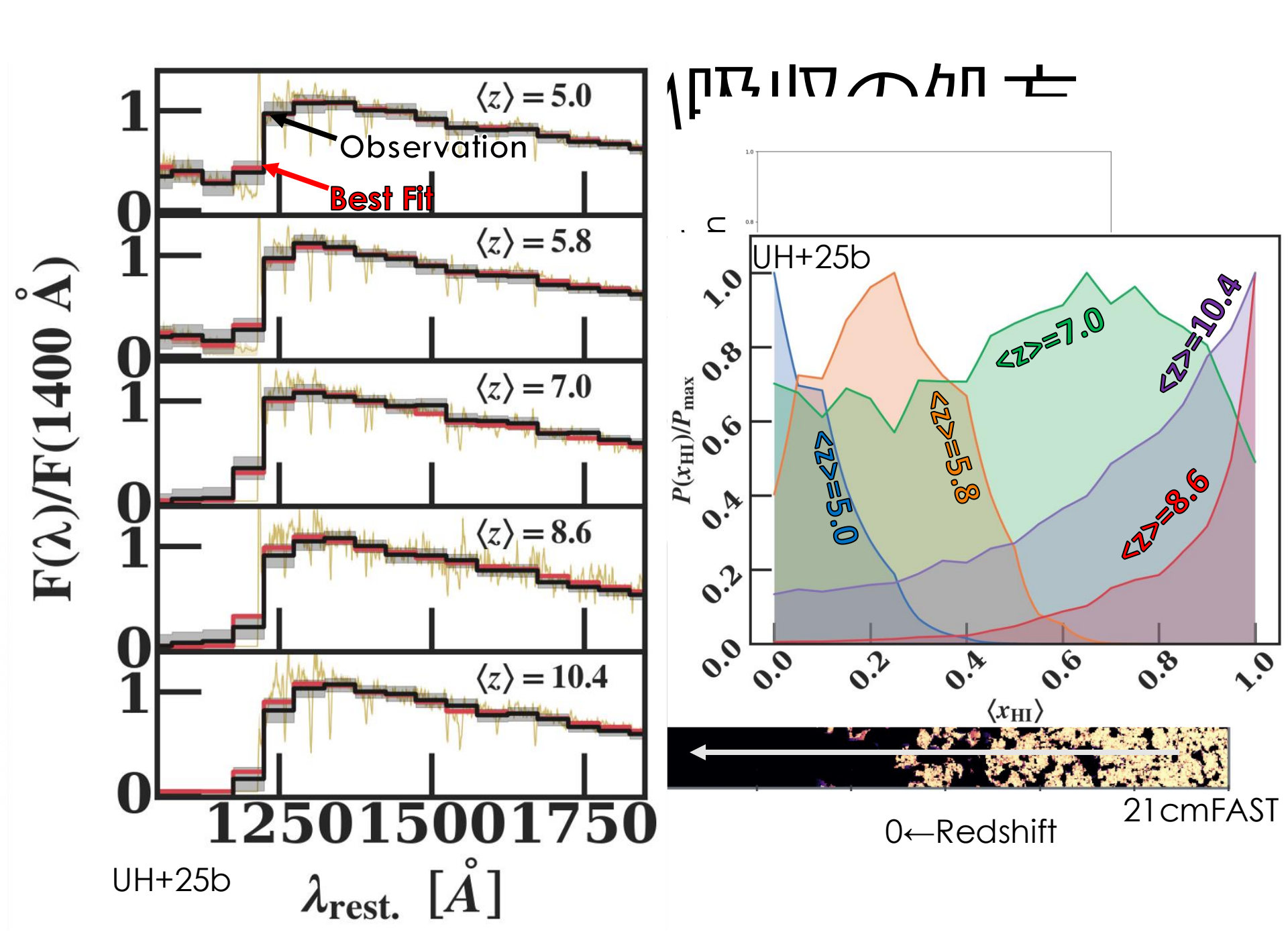
(e.g., 21cmFAST, THESAN)

パラメータ推論: semi-numerical & sub-gridが良く使われてる

(e.g., Mason+18,Lu+24,Davies+18,Umeda+24,25ab,Greig+21...)

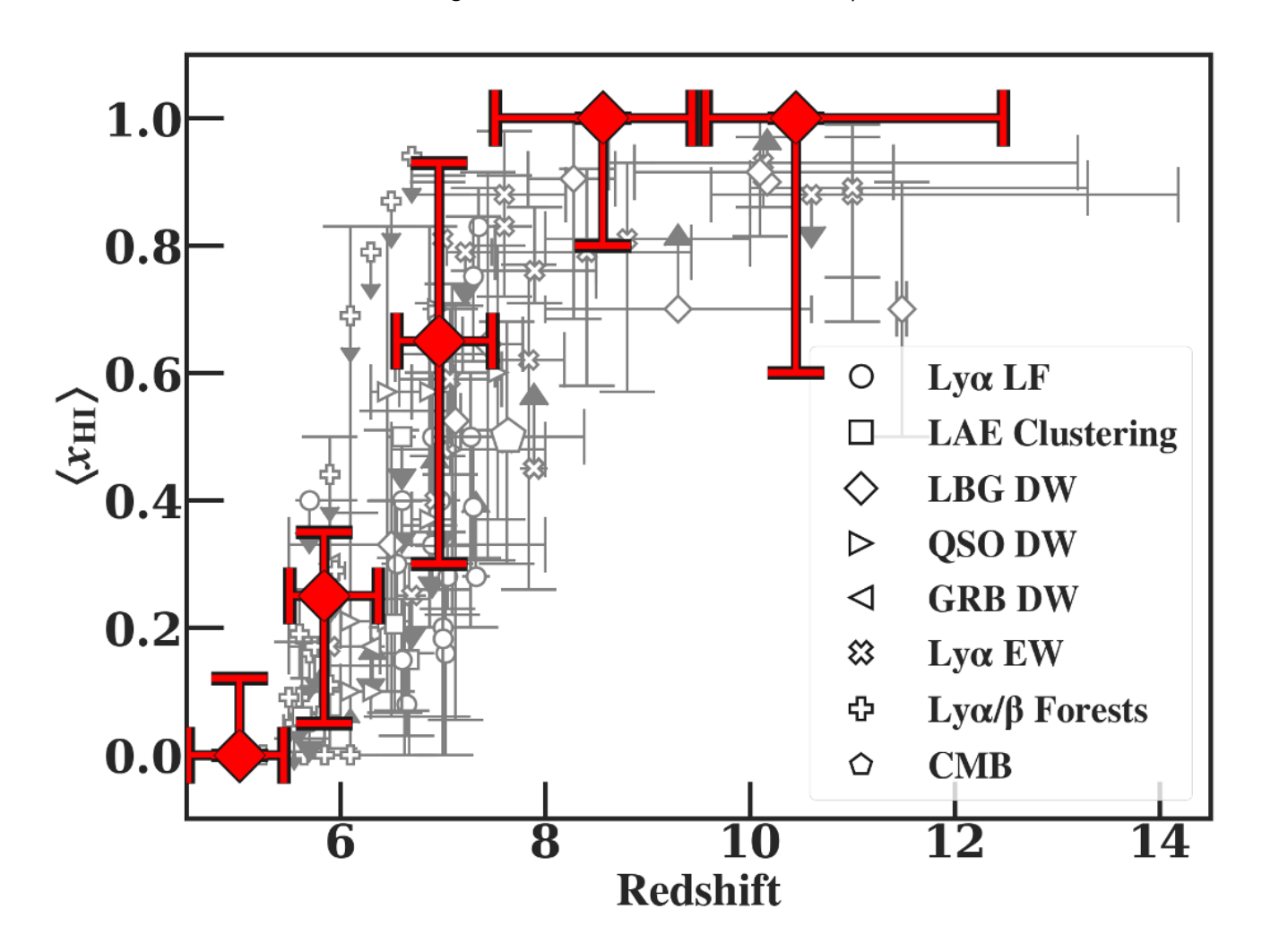
銀河分布とIGM電離状態





JWSTによる成果

(e.g., Curtis-Lake+23, Hsiao+24, Umeda+24,25, Jones+24, Nakane+24, Kageura+25, Napolitano+24, Bruton+23, Mason+25, Tang+23,24, Morishita+23, Lu+24, etc...)



JWSTによる成果

(e.g., Curtis-Lake+23, Hsiao+24, Umeda+24,25, Jones+24, Nakane+24, Kageura+25, Napolitano+24, Bruton+23, Mason+25, Tang+23,24, Morishita+23, Lu+24, etc...)

最遠方におけるxHI制限 一方、再雷離中期では誤差大 →電離状態の非一様性が大きいから (e.g., Inhomogeneity; Mesinger+08, Ishimoto+22) [囲、複数視線上の情報が必要

Redshift

Ö

O



広視野サーベイによる空間的非一様性の考慮

Satoshi Kikuta

すばる望遠鏡/Hyper Suprime Cam (HSC; イメージング)

すばる望遠鏡

HSC-Strategic Survey Program (SSP;Aihara+18) & Cosmic HydrOgen Reionization Unveiled with Subaru (Inoue+18) → SILVERRUSH. (see S. Kikuta+23)

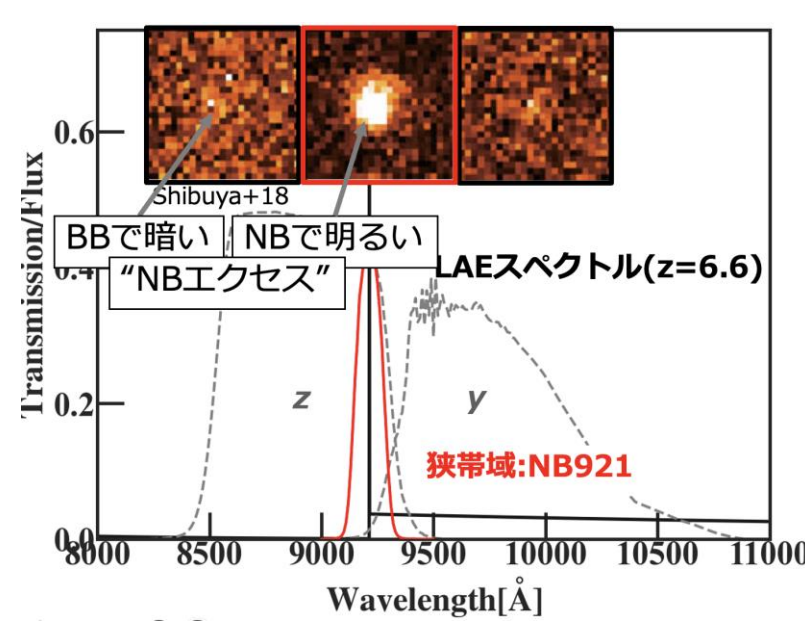
探査面積: ~1 Gpc²;深さ: 26 mag,

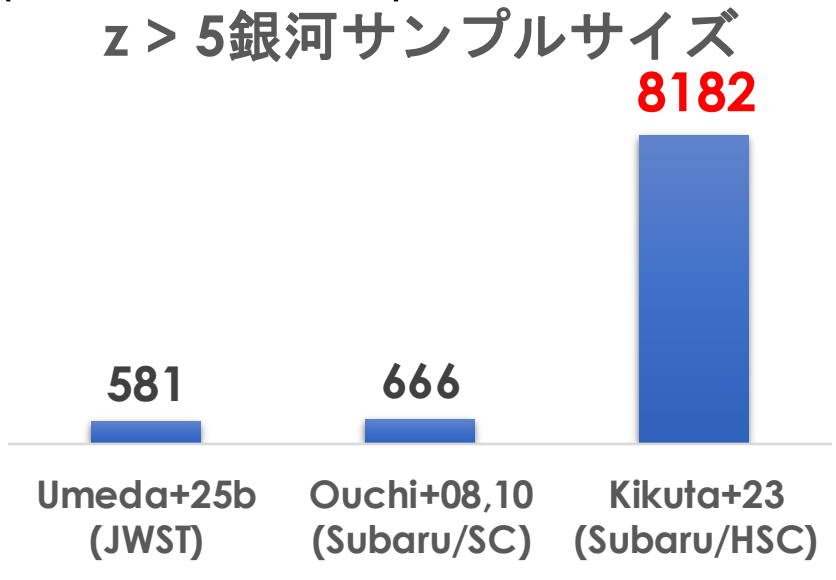
視野範囲: 1.75 平方度 (~**0.1 Gpc²**)

SILVERRUSH

ystematic Identification of LAEs for Visible Exploration and Reionization Research

<u>赤方偏移:</u> 2.2, 3.3, 4.9, 5.7, 6.6, 7.0, 7.3 (狭帯域フィルタ)







広視野サーベイによる空間的非一様性の考慮

Satoshi Kikuta

すばる望遠鏡/Hyper Suprime Cam (HSC; イメージング)

10000 10500

Wavelength[A]

すばる望遠鏡

<u> 視野範囲</u>: 1.75 平方度 (~**0.1 Gpc²**)



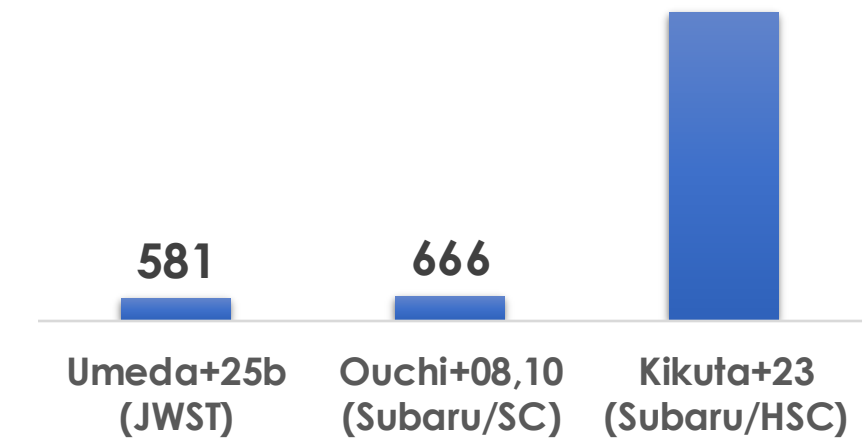
ra+18) & Cosmic HydrOgen Reionization RRUSH. (see S. Kikuta+23)



, 7.3 (狭帯域フィルタ)

z > 5銀河サンプルサイズ







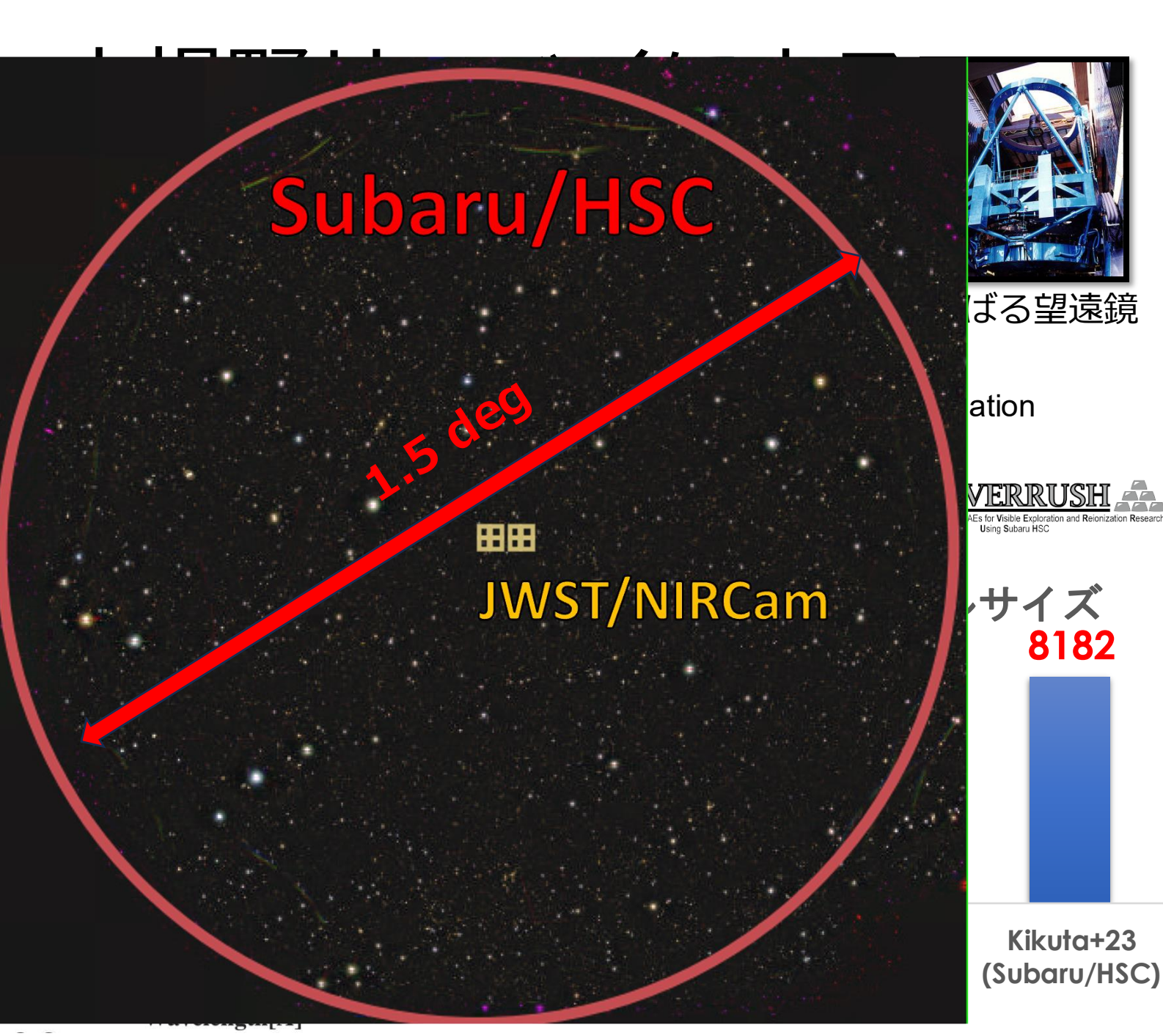
視野範囲

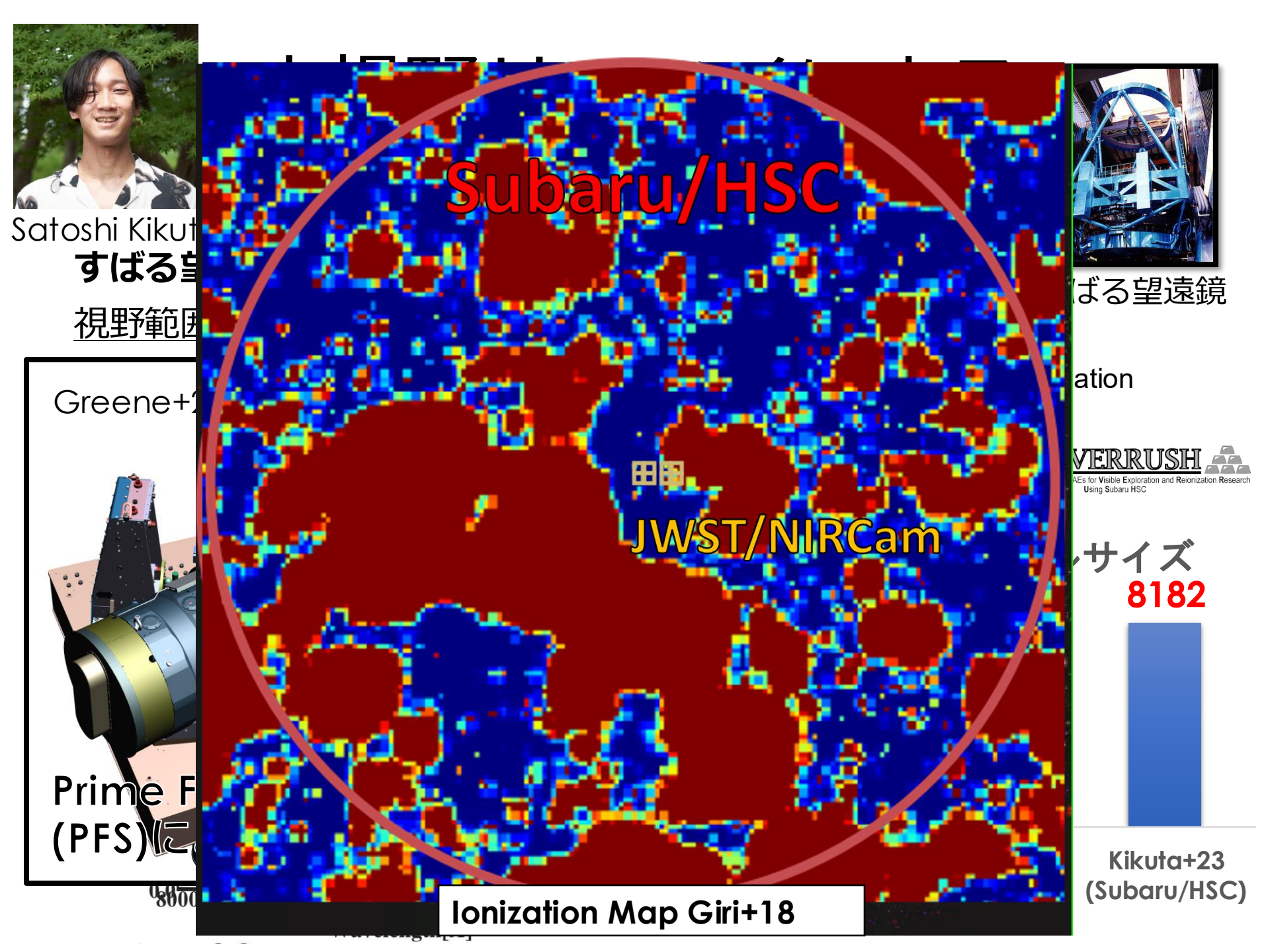
Greene+2



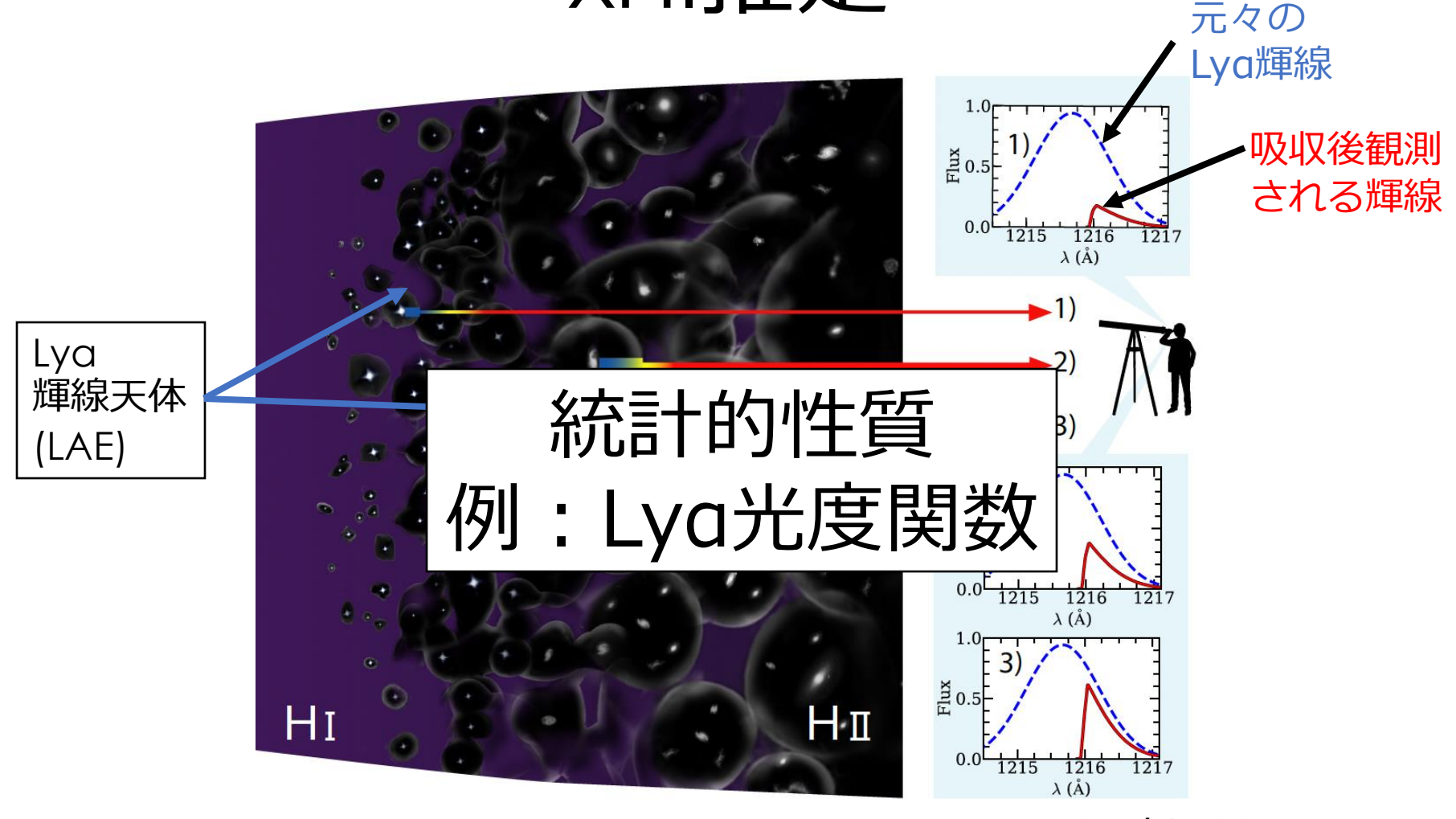
Prime F (PFS)

0008⁰





非一様性を考慮した xHI推定



Ouchi+20

非一様性を考慮した空間分布

白:電離 黒:中性 透明 不透明 検出される 真のLAEの **IGM** 空間分布 LAEの分布 電離状態

Lya 輝線ラ (LAE)

> 輻射輸送計算 McQuinn+07

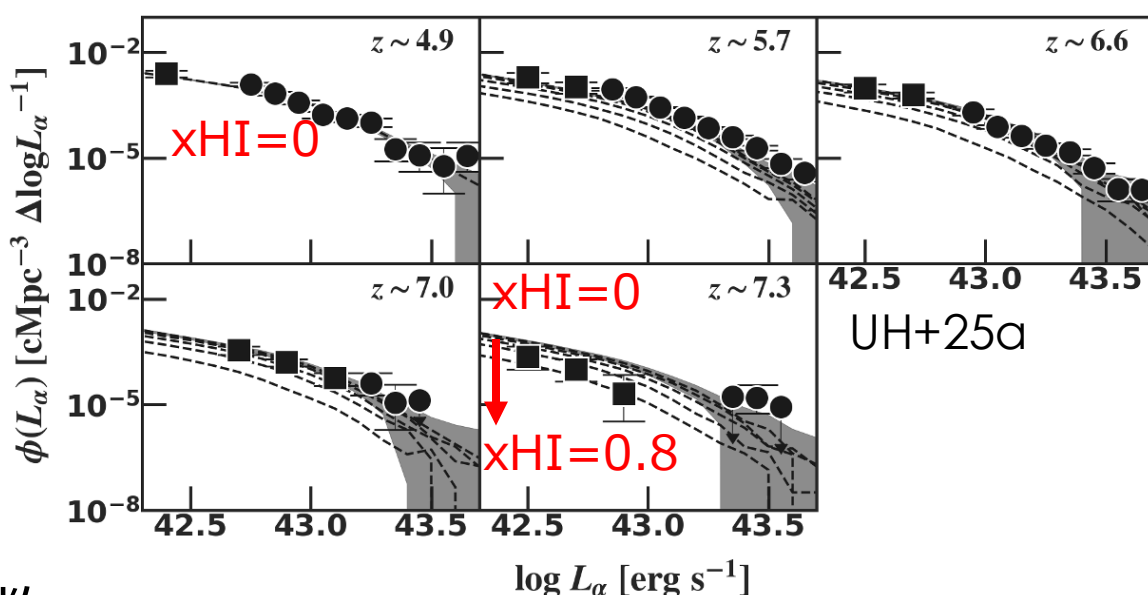
電離領域内ペアが選択的に検出 →見かけのクラスタリングが増大

測

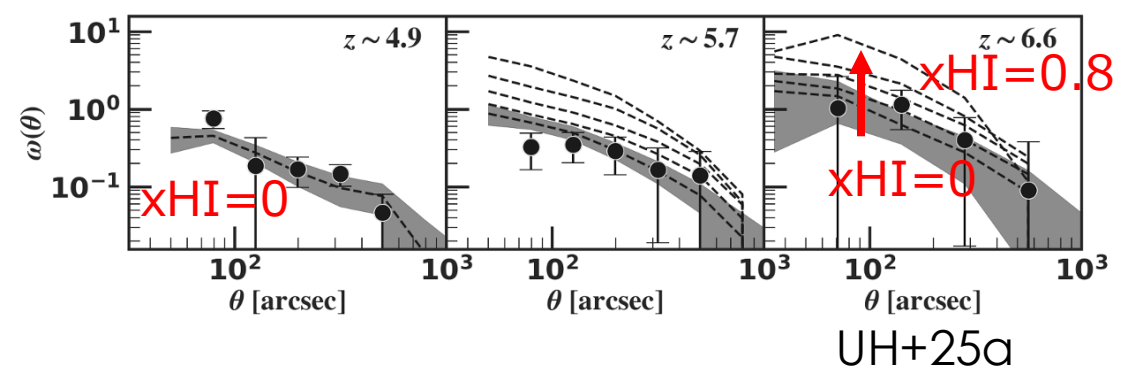
錦

LAEの統計的性質からxHI推定

Lya光度関数 (e.g., Ouchi+08,10,Konno+14,16,Taylor+21,Ning+21,22,Goto+21,Hu+10,···)

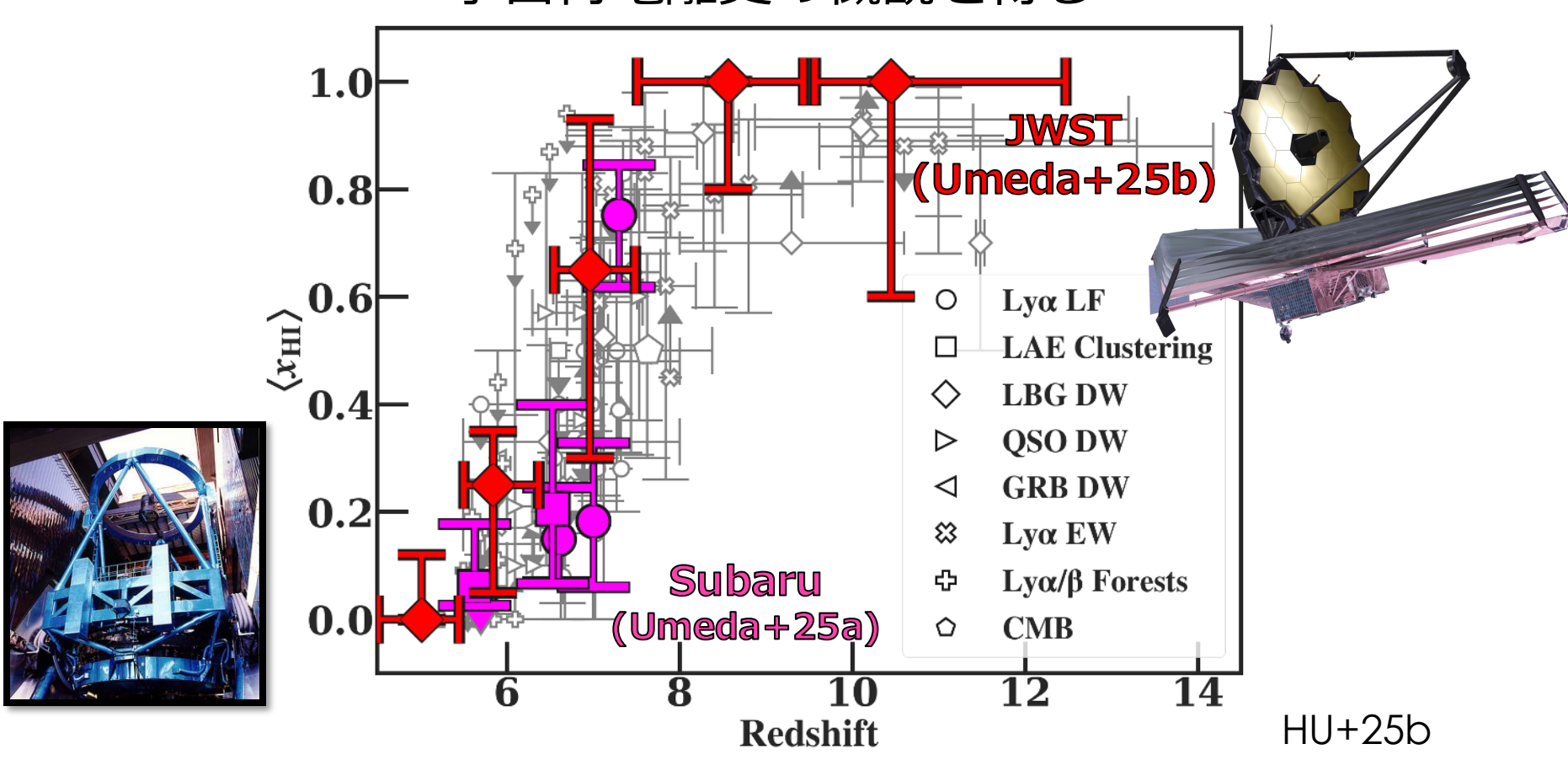


2点相関関数 (e.g., McQuinn+07, Sobacchi&Mesinger+15, Ouchi+10,18, Umeda+25)



相補的観測により描かれる再電離史の概観

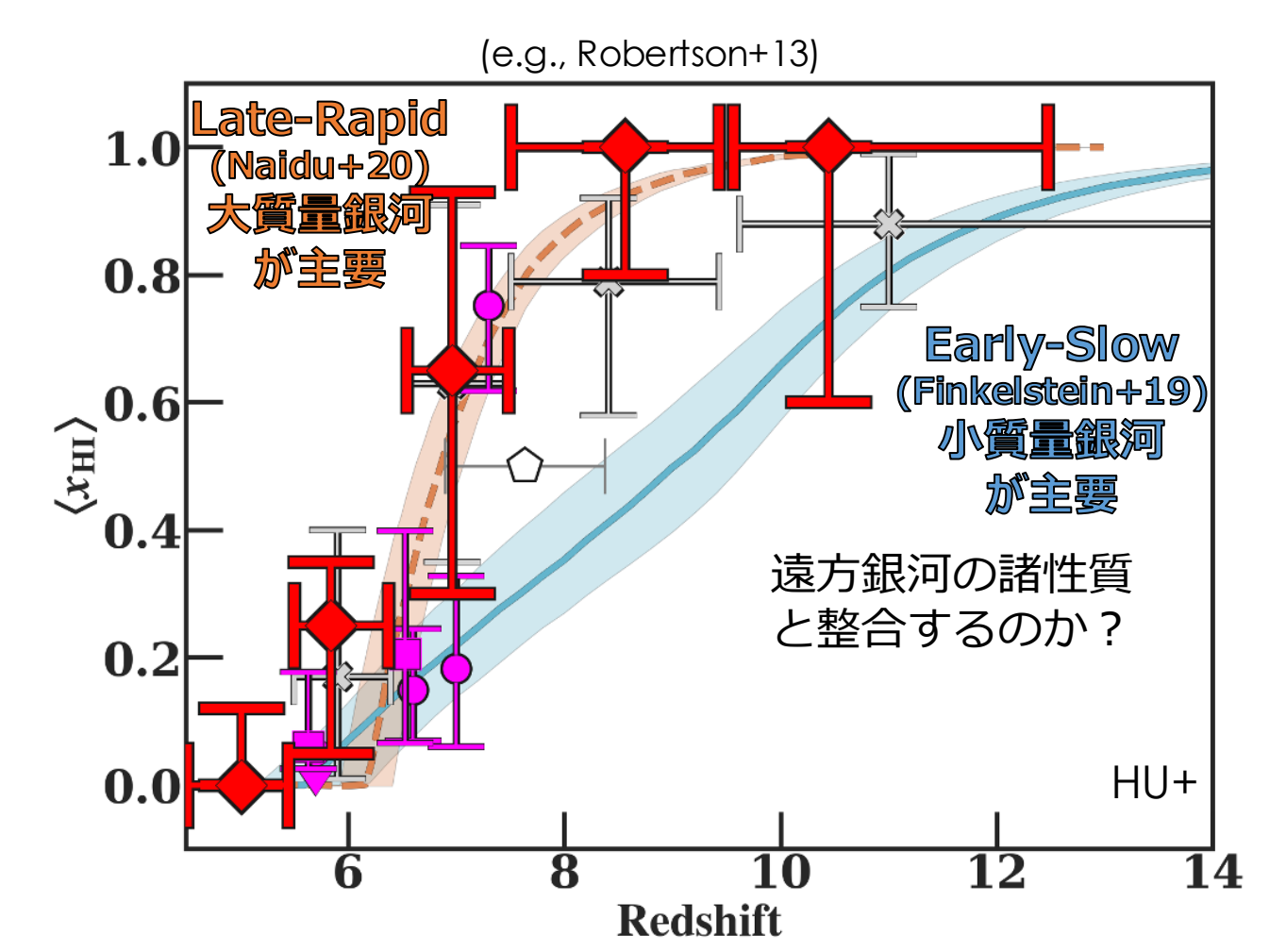
深宇宙探査(JWST) & 広視野探査(Subaru)を組み合わせ 宇宙再電離史の概観を得る



遅く、急速な再電離史?

z~7で急速に再電離が進行?

数の多い小質量銀河による再電離の描像と合わない?



宇宙再電離を決定づける物理量

宇宙再電離史は電離光子の数で(概ね)決まる

再電離史 再結合 電離
$$\frac{d\langle x_{\rm HI}\rangle}{dt} = \frac{1-x_{\rm HI}}{t_{rec}} - \frac{\dot{n}_{ion}}{\langle n_H\rangle} \qquad {\rm one-zone\ model\ cf.\ Madau+99}$$

 t_{rec} :再結合のタイムスケール

$$\dot{n}_{ion} = \rho_{UV} \times \xi_{ion} \times f_{esc}$$

 ho_{UV} : UV光度密度(光度関数)~電離源の個数

 ξ_{ion} : 電離光子生成効率

 f_{esc} : 電離光子脱出率 (IGMスケールへの)

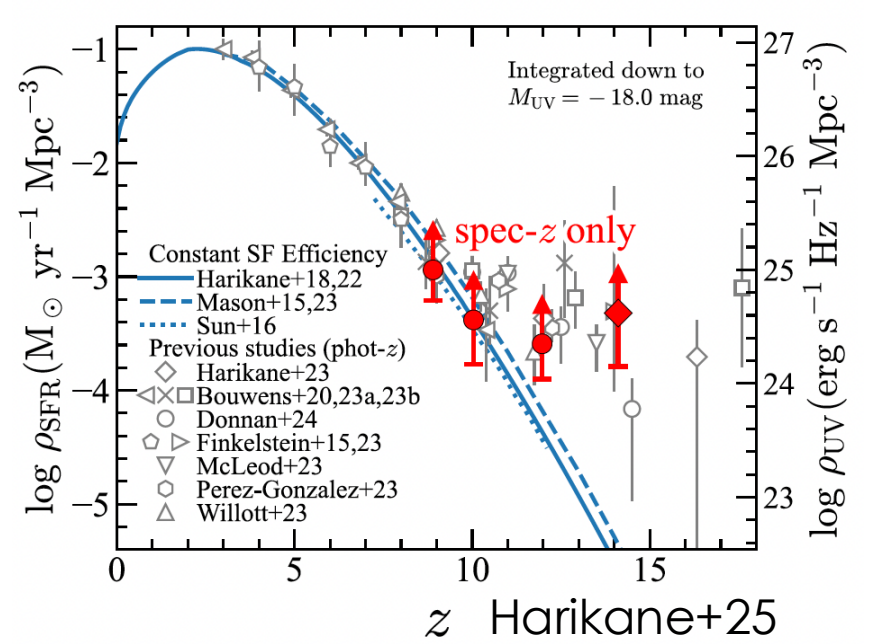
電離光子の生成量

 ρ_{IIV} : UV光度関数

(e.g., Harikane+23,25, Donnan+24,

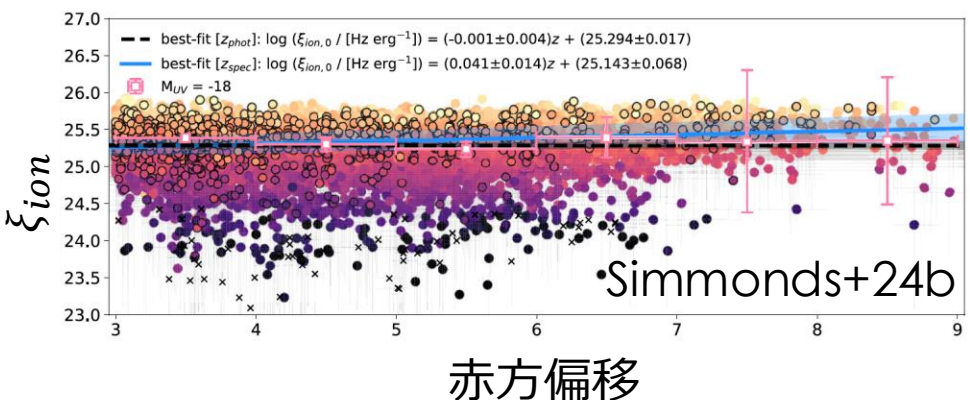
Bouwens+23,etc...)

明るい銀河は増えるが、再電離が早く始まりそう



 ξ_{ion} : HI再結合線の強さから推定

(e.g., Simmonds+24a,b, Papovich+25, etc...)

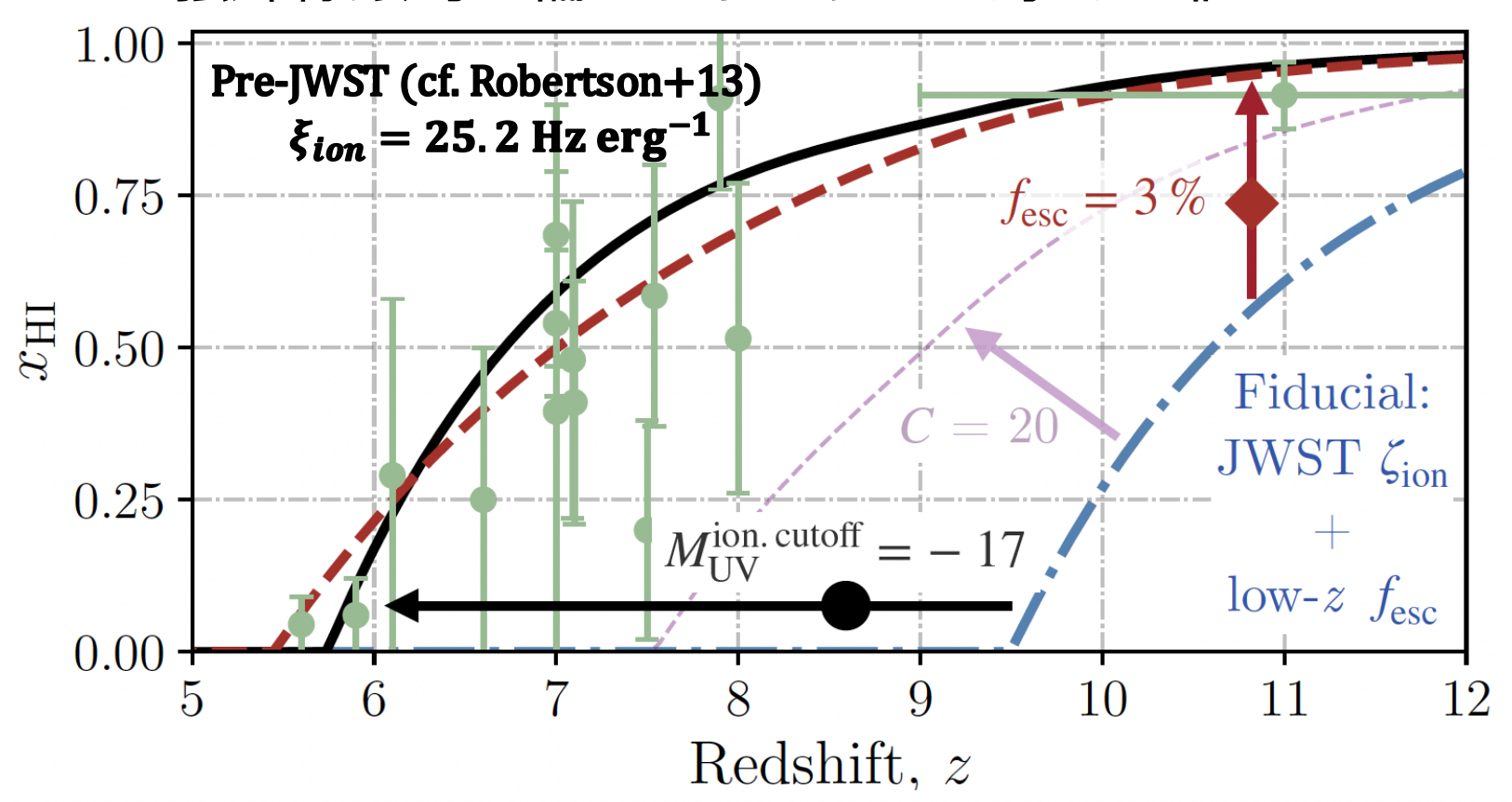


→ξ_{ion}:進化はない (小質量銀河による 再電離と無矛盾)

~念の為~ 電離光子過多問題?

 $\xi_{ion}=25.8~{\rm Hz~erg^{-1}@z>6?}$ (Simmonds+24a) Planckの $\tau_{\rm e}$ より大きくなる?

→強輝線銀河に偏ったサンプルで求めた値だった



~念の為~ 電離光子過多問題?

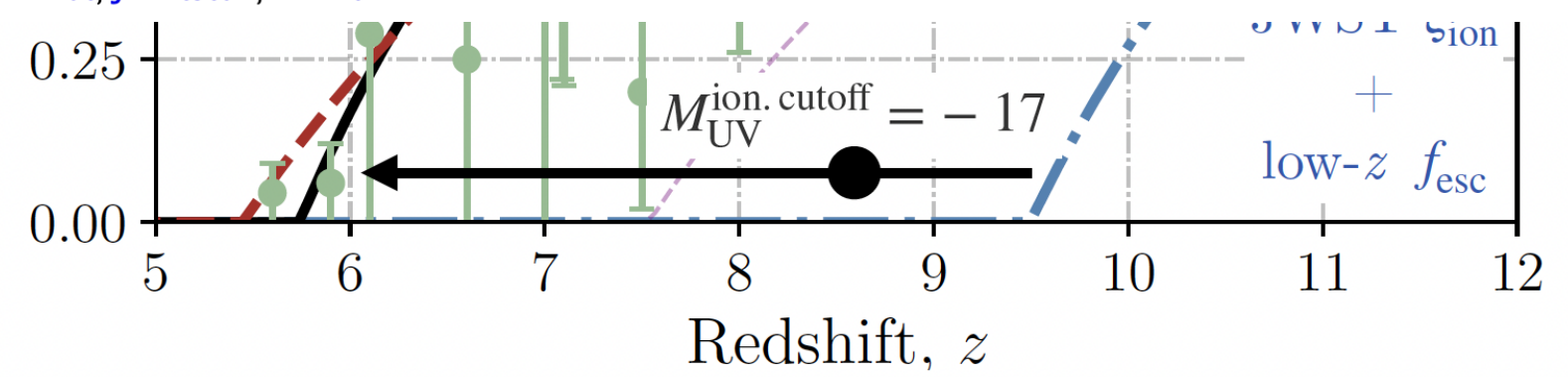
 $\xi_{ion}=25.8~{\rm Hz~erg^{-1}@z>6?}$ (Simmonds+24a) Planckの $\tau_{\rm e}$ より大きくなる?

→強輝線銀河に偏ったサンプルで求めた値だった

1.00 Pre-JWST (cf. Robertson+13)

Ionising properties of galaxies in JADES for a stellar mass complete sample: resolving the cosmic ionising photon budget crisis at the Epoch of Reionisation $o \xi_{ion} = 25.3 \,\mathrm{Hz\,erg^{-1}}$

C. Simmonds, S. Tacchella, K. Hainline, B.D. Johnson, D. Puskás, B. Robertson, W.M. Baker, R. Bhatawdekar, K. Boyett, A.J. Bunker, P.A. Cargile, S. Carniani, J. Chevallard, M. Curti, E. Curtis-Lake, Z. Ji, G.C. Jones, N. Kumari, I. Laseter, R. Maiolino, M.V. Maseda, P. Rinaldi, A. Stoffers, H. Übler, N.C. Villanueva, C.C. Williams, C. Willot, J. Witstok, Y. Zhu



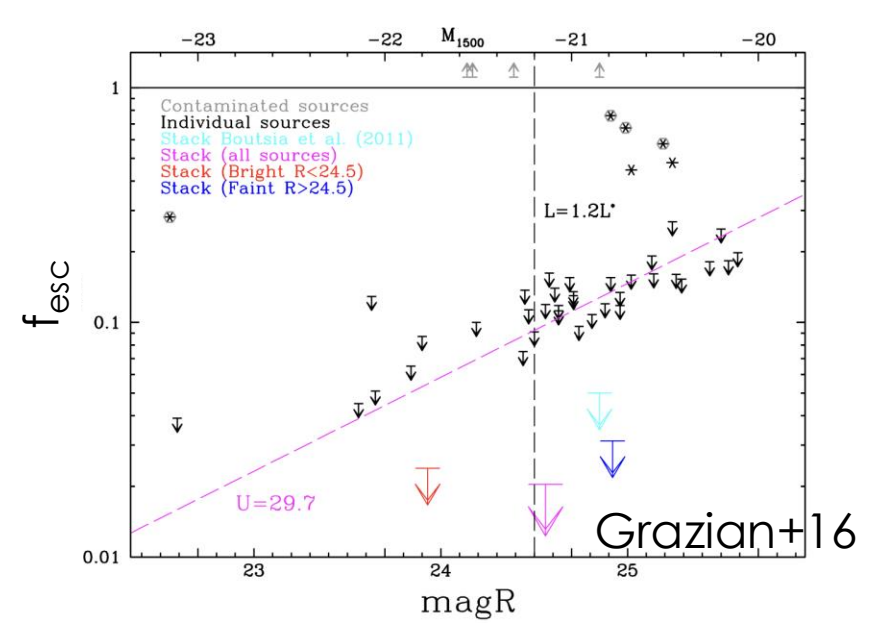
電離光子脱出率?

電離光子脱出率 f_{esc} : Lyman連続光の測定:不可能@EoR (ある意味再電離研究の最難関?)

*ただし、星雲連続光の強度(→UV傾きβ)などから推測可

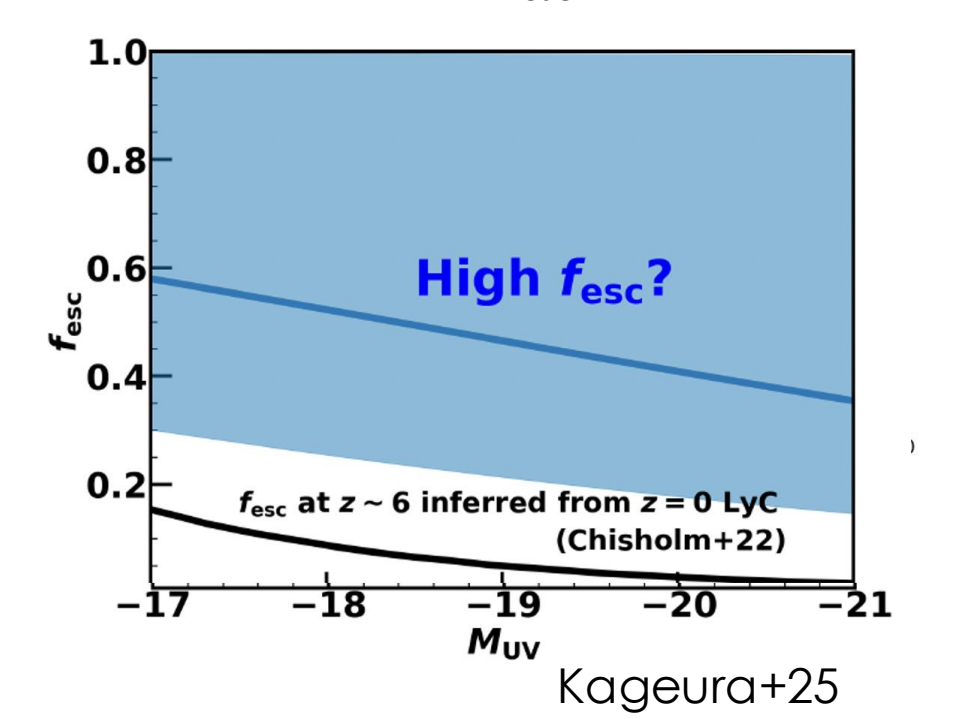
(c.f., Saxena+25, Jaskot+24, Yanagisawa+25, Papovich+25, Giovanzzo+25, Shimizu+25)

近傍銀河ではf_{esc}<<0.1



See also Chisholm+22, etc..

z~7での加速的な電離史再現 →観測より高いf_{esc}必要 (<u>Tension?</u>)



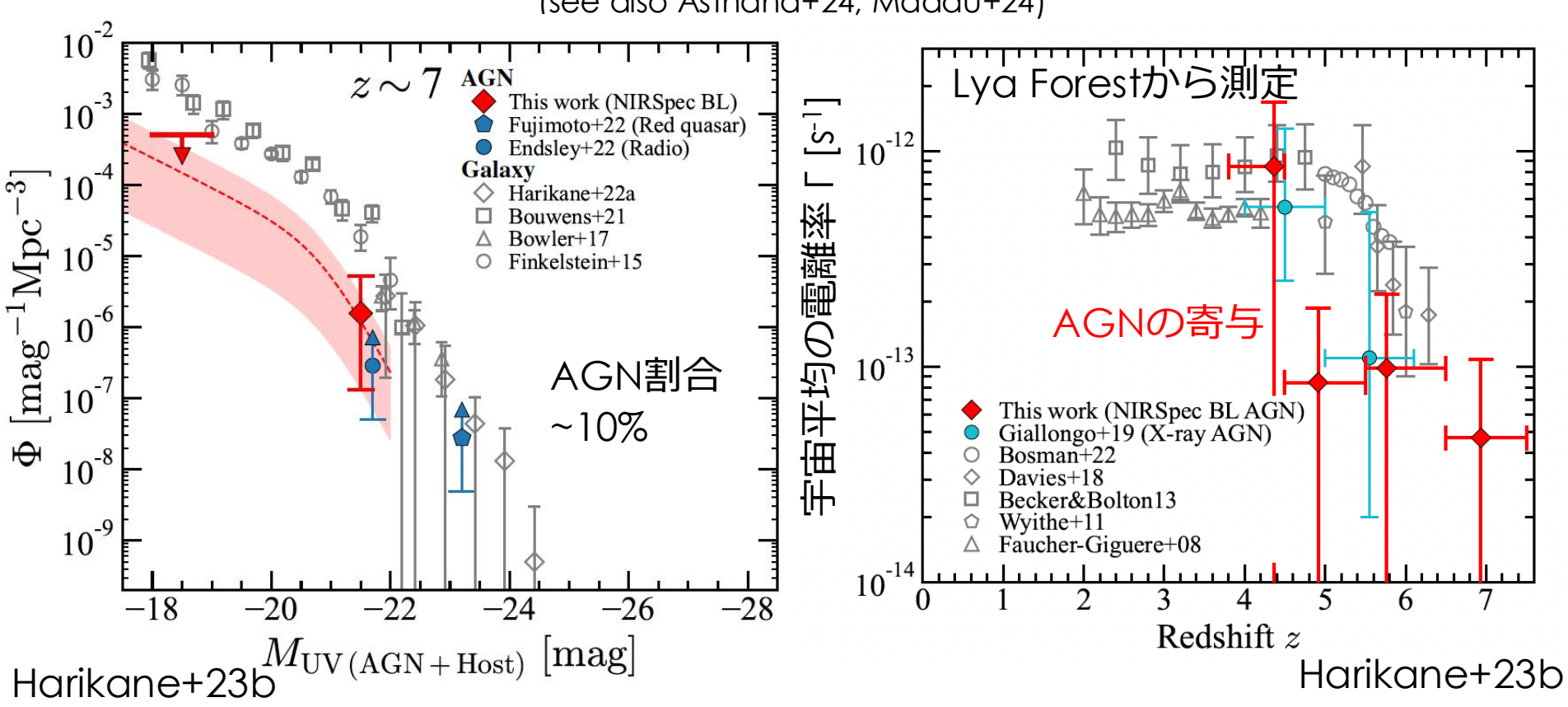
AGNの寄与

QSO-leadな再電離は個数密度が少なすぎるので棄却(e.g., Jiang+22)

でも暗いAGNが多数検出 (e,g., Harikane+23b, Maiolino+24, etc..)

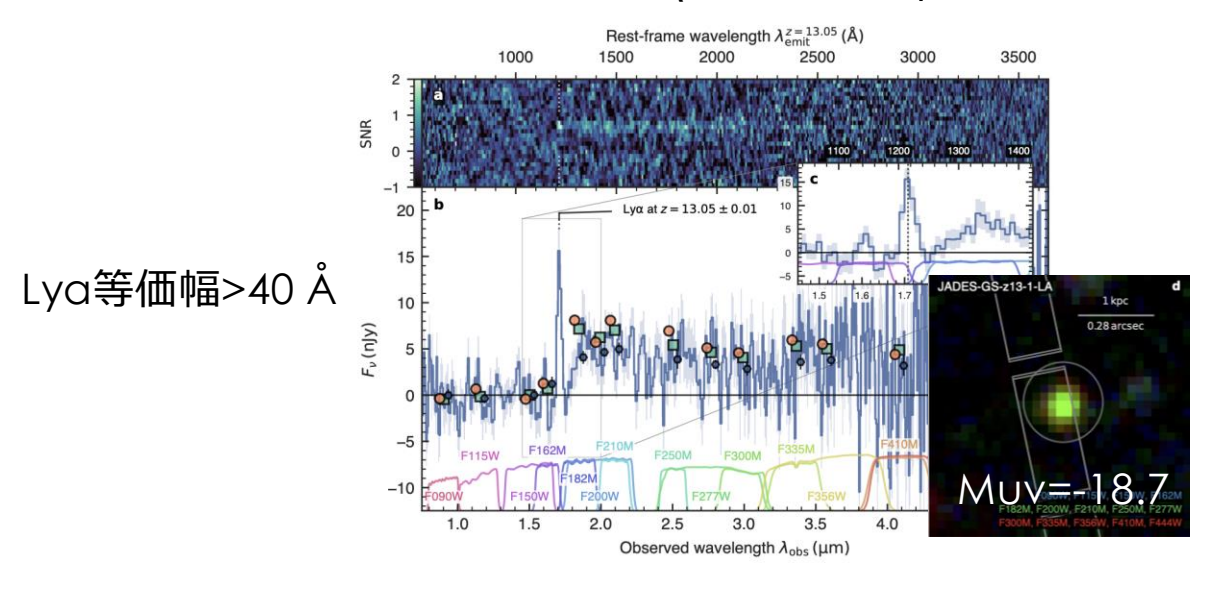
→f_{esc}~100%でも主要な電離光子源とは考えづらい

(see also Asthana+24, Madau+24)



最遠方における 巨大な電離泡の存在示唆

z=13で非常に強いLya Emission検出 (Witstok+25) →<u>電離泡が早くから形成</u> (Late & Rapidとはtensionか?)



See also Qing+25

単純な観測値だけでは複雑性は考慮できない

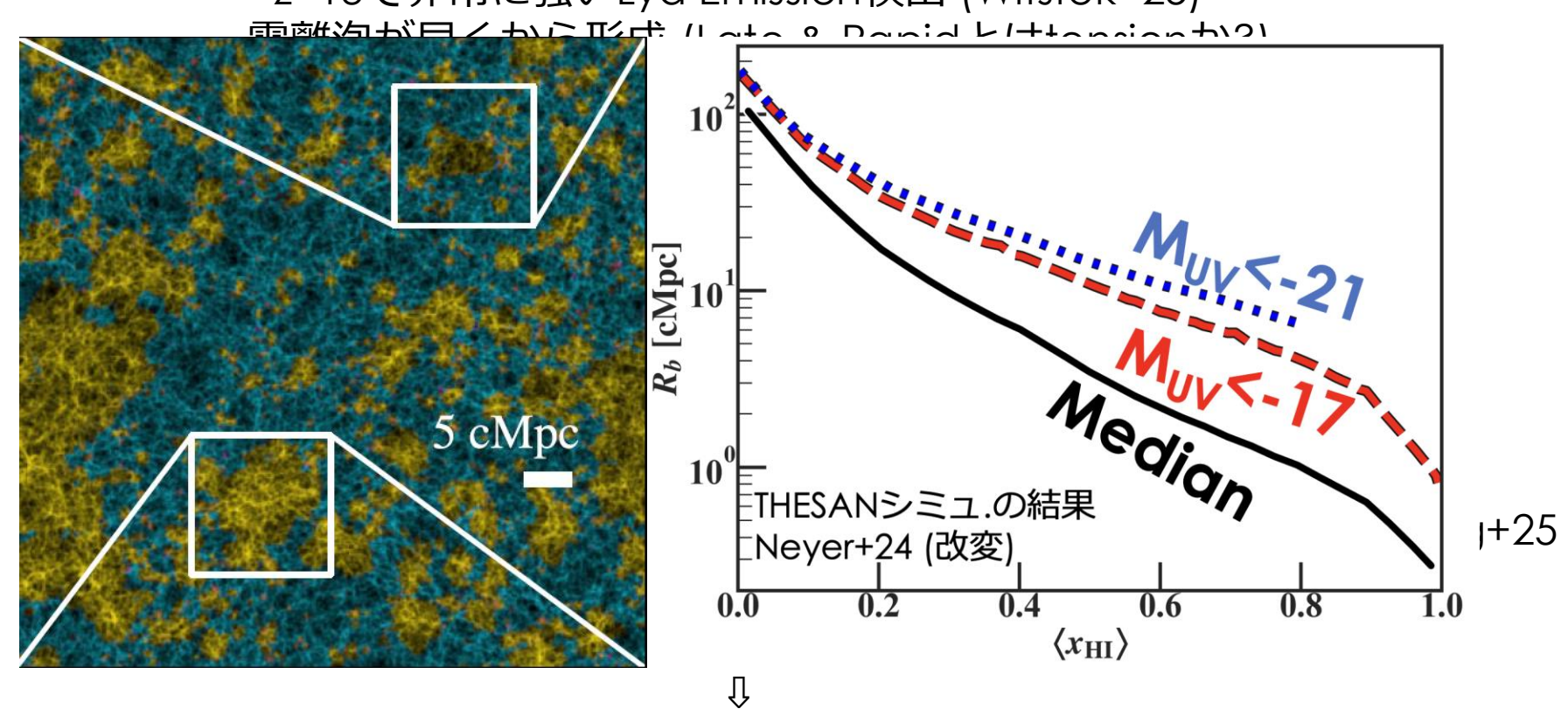
Û

今後:xHI(z)測定の精緻化&複合的に見る必要あり?

(銀河の性質依存、環境依存、など)

最遠方における 巨大な電離泡の存在示唆

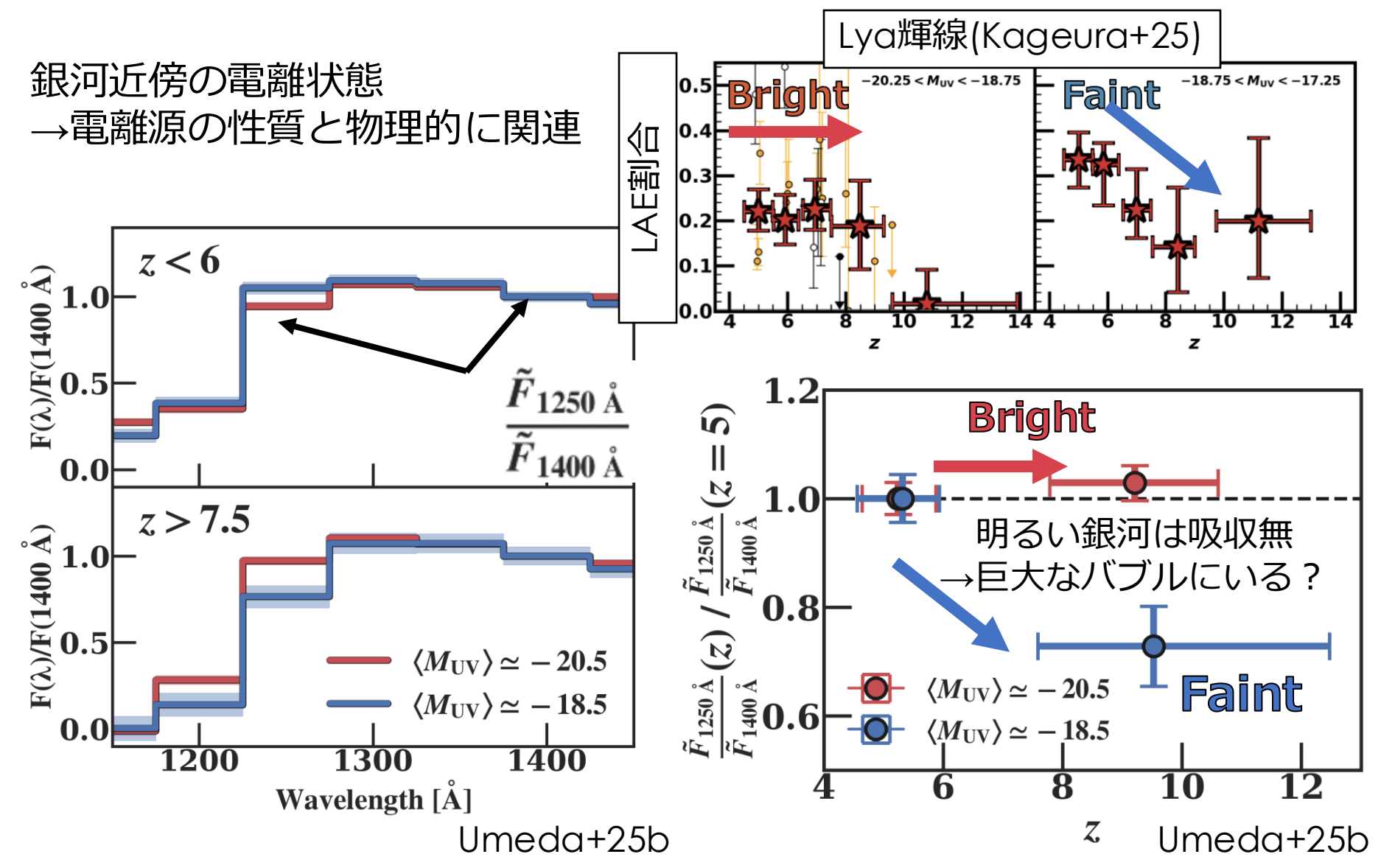
z=13で非常に強いLya Emission検出 (Witstok+25)



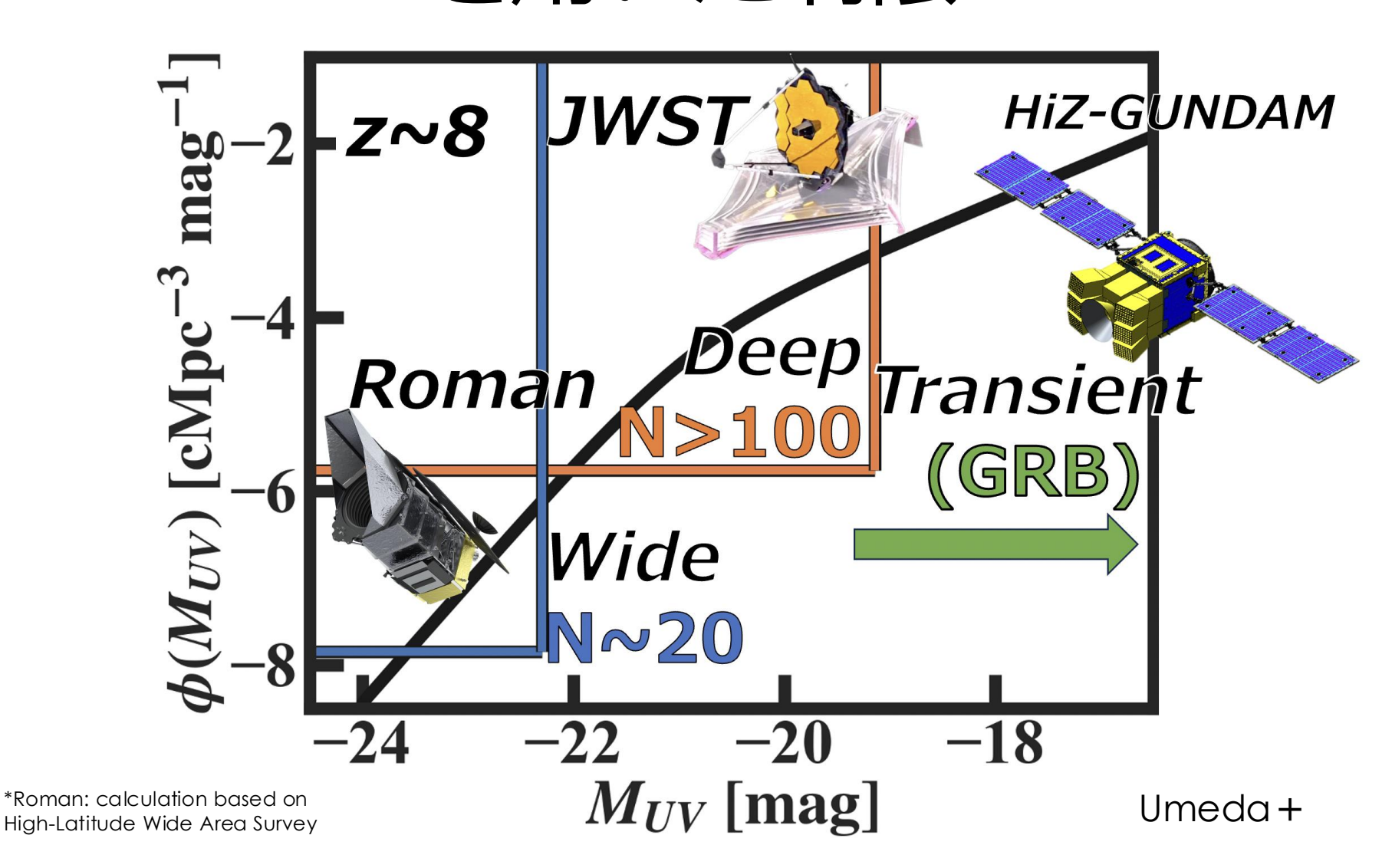
今後:xHI(z)測定の精緻化&複合的に見る必要あり?

(銀河の性質依存、環境依存、など)

電離源と電離構造を直接見る

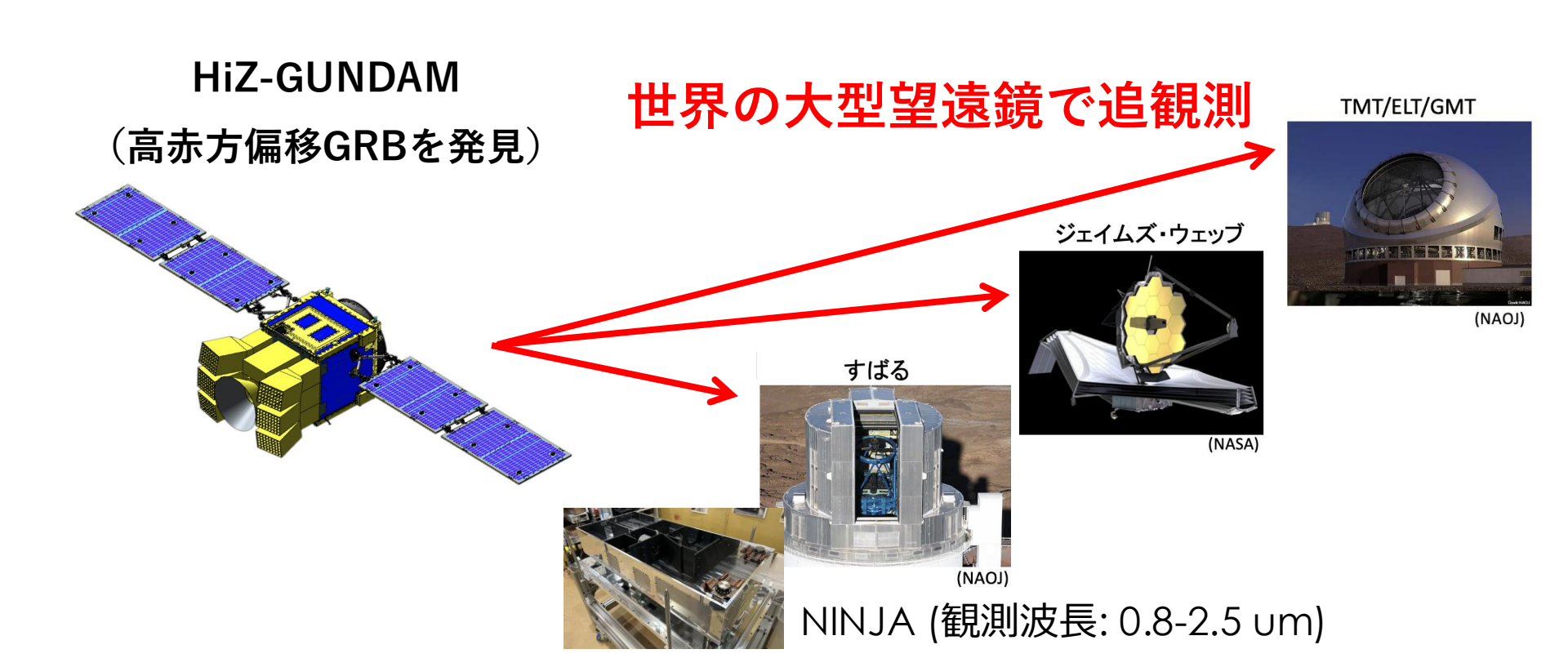


Roman & JWST & GRB を用いた制限



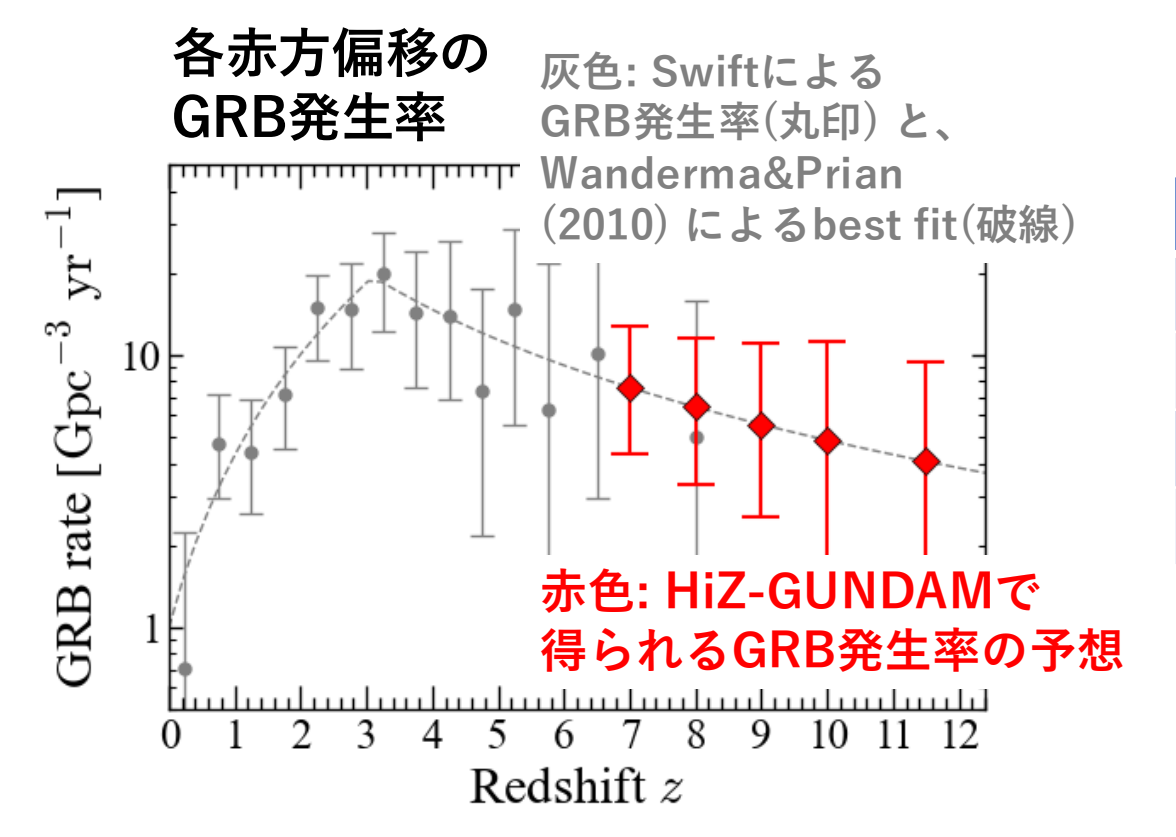
HIZ GUNDAM

GRB検出後、赤外線(e.g., NINJA)で追分光 (米徳さん+のトーク) →明るい残光(f_{UV}~1e-17 erg s-1 cm-2 Hz-1)を検出



暗い&遠方 パラメータスペースへの挑戦

遠方低光度銀河の連続光の直接観測は難 →増光現象(e.g., GRB残光)を利用



GRB検出個数 10⁻¹⁸ erg/cm²/s

	Event #/yr/str
z>5	22
z>7	6
z>9	2
z>12	0.3

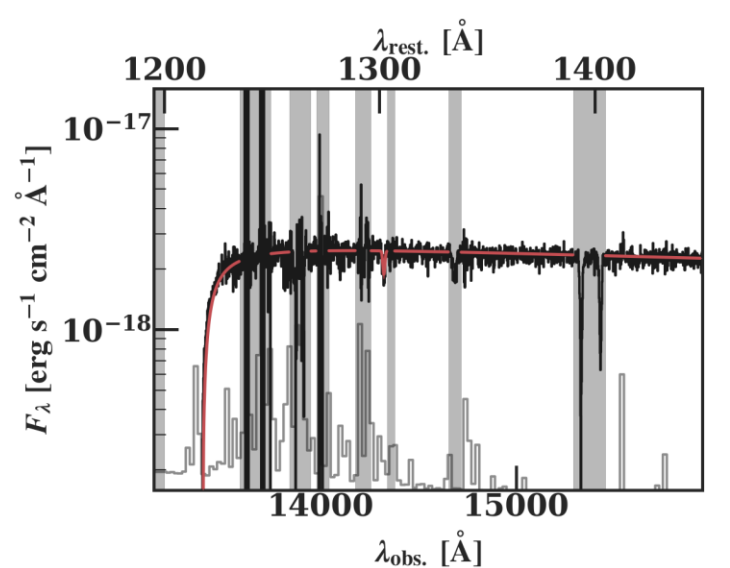
*今度さんポスター引用

1ヶ月に一発ペースで z>6 GRB検出(米徳さんTalk)

HiZ GUNDAM 観測成果(予想)

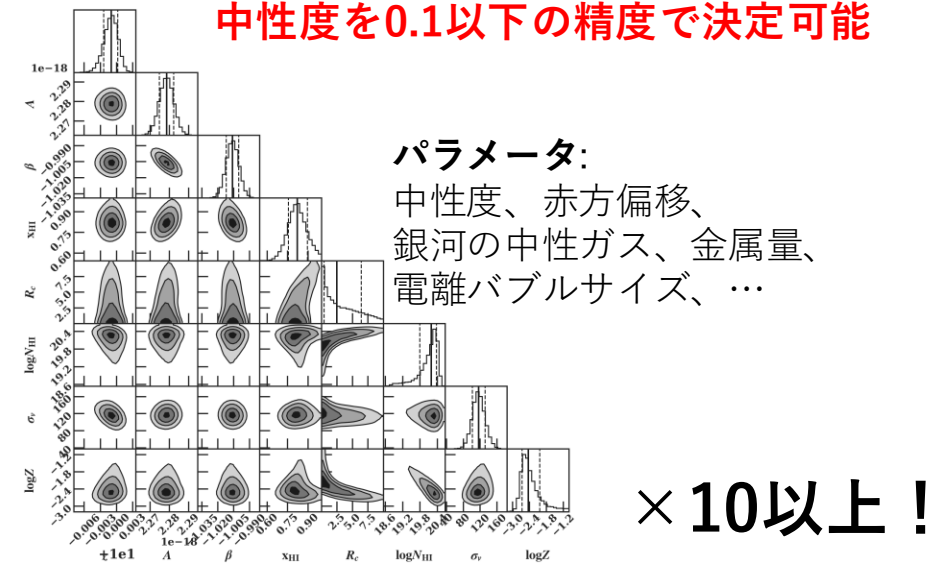
小質量銀河周辺の電離環境を調べる上で、 非常にプロミッシング!

z=10 GRBをすばる望遠鏡NINJAで 2時間観測した際の予想 (R~3300)



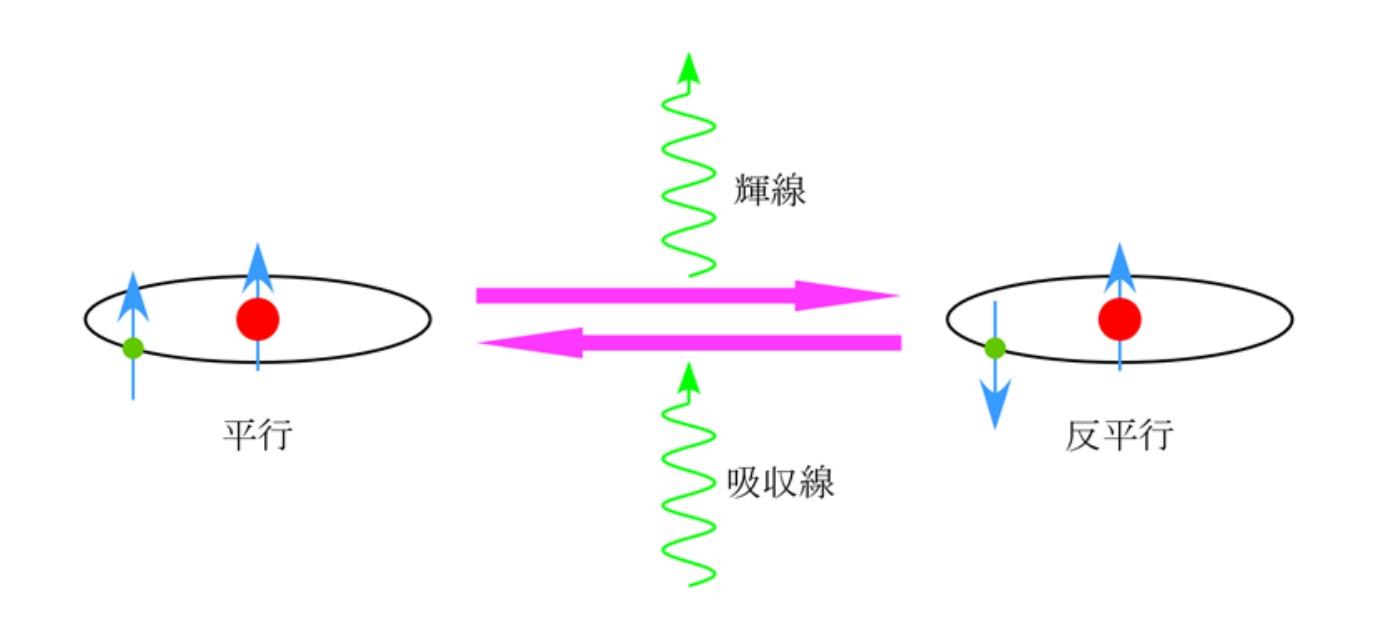
感度データはすばる/NINJAチーム提供

明るく単純なスペクトル形状のおかげで 多くのパラメータと中性度の縮退を解き、



中性水素ガスの直接観測

HI 21cm線:超微細構造線 (スピン反転) 微弱な電波だが、IGMスケールのHI分布 を信号をトレースするのに適している



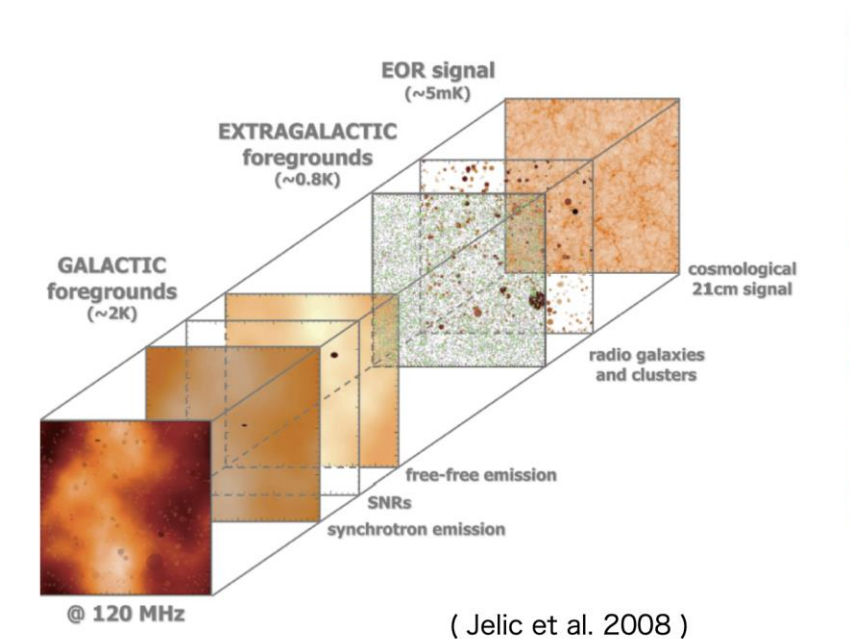
21cm線信号検出に向けて

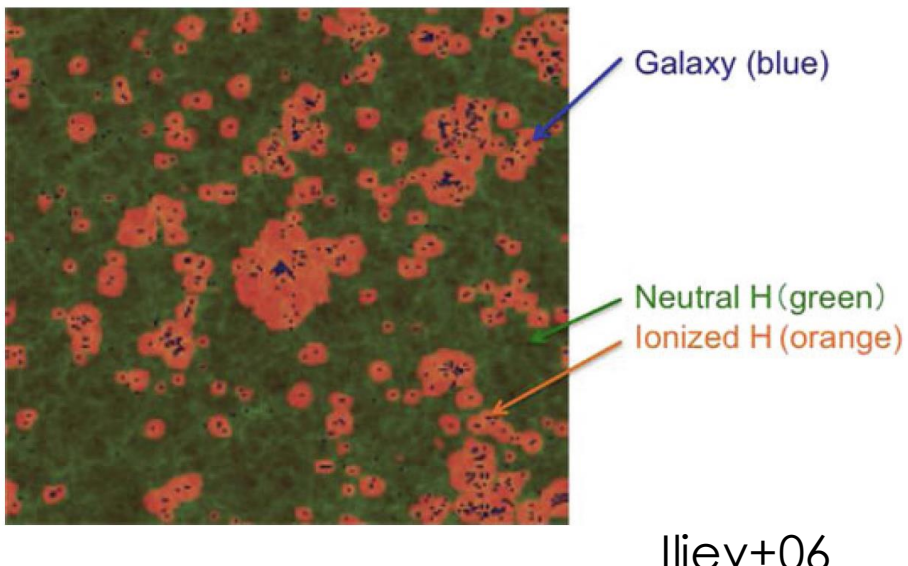
- 21 cm線:前景放射が非常に強い (e.g., Synchrotron放射)
- EoR銀河と相互相関をとり、EoR信号を抽出

(e.g., Sobacchi+16, Kubota+18; Trott+21)

・ "無相関"な前景放射を除去

電離源(銀河)分布とHI分布は関連



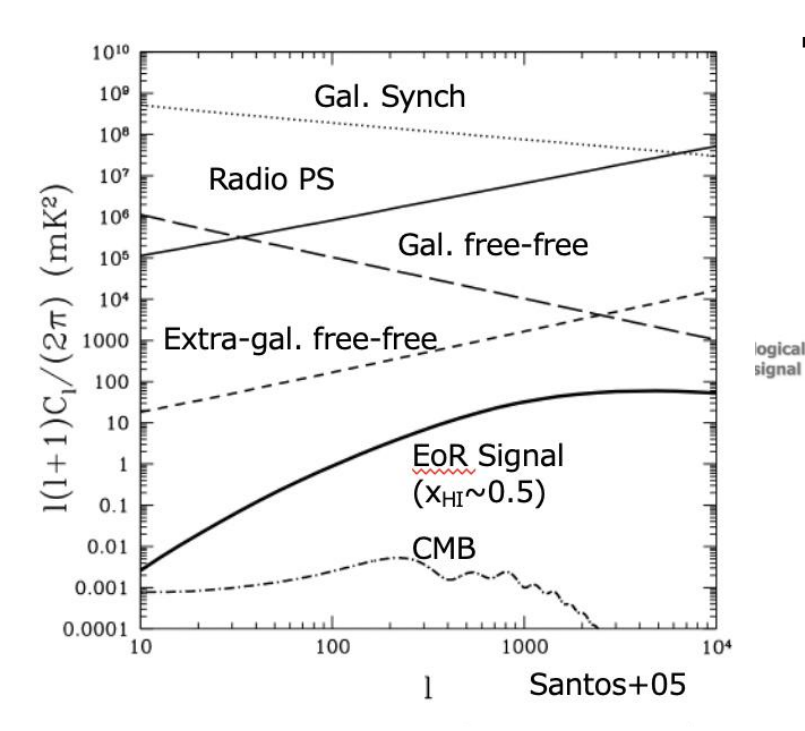


21cm線信号検出に向けて

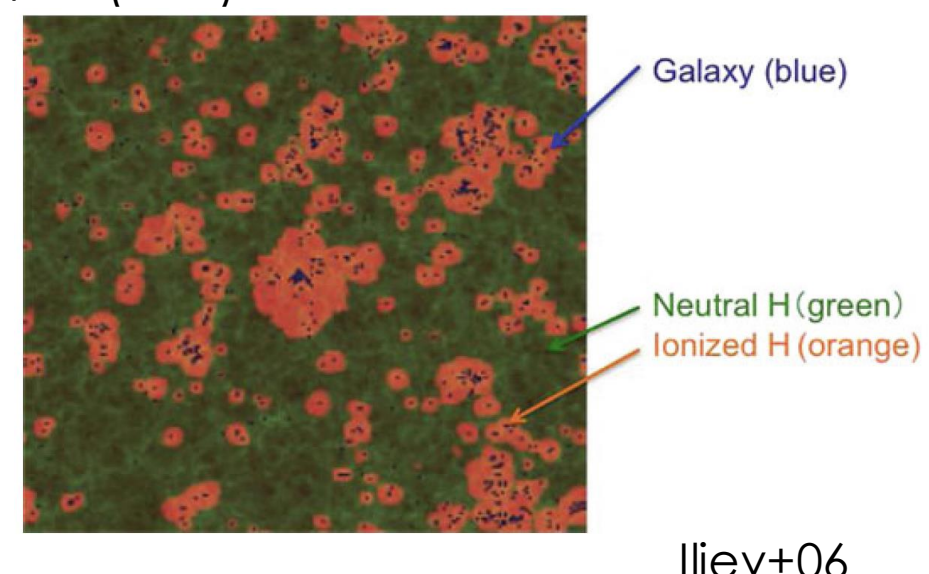
- 21 cm線:前景放射が非常に強い (e.g., Synchrotron放射)
- EoR銀河と相互相関をとり、EoR信号を抽出

(e.g., Sobacchi+16, Kubota+18; Trott+21)

• "無相関"な前景放射を除去



電離源(銀河)分布とHI分布は関連



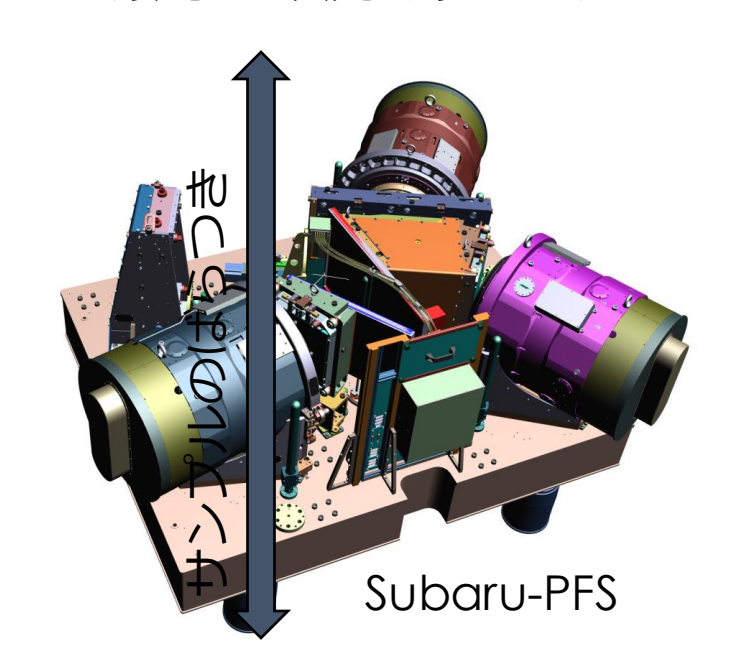
銀河-21cm線の空間相互相関

電波干渉計で 広視野21cm線観測 可視・近赤外多天体分光観測で EoR銀河の3次元マッピング

Murchison Widefield Array Square Kilometers Array (MWA) (SKA)



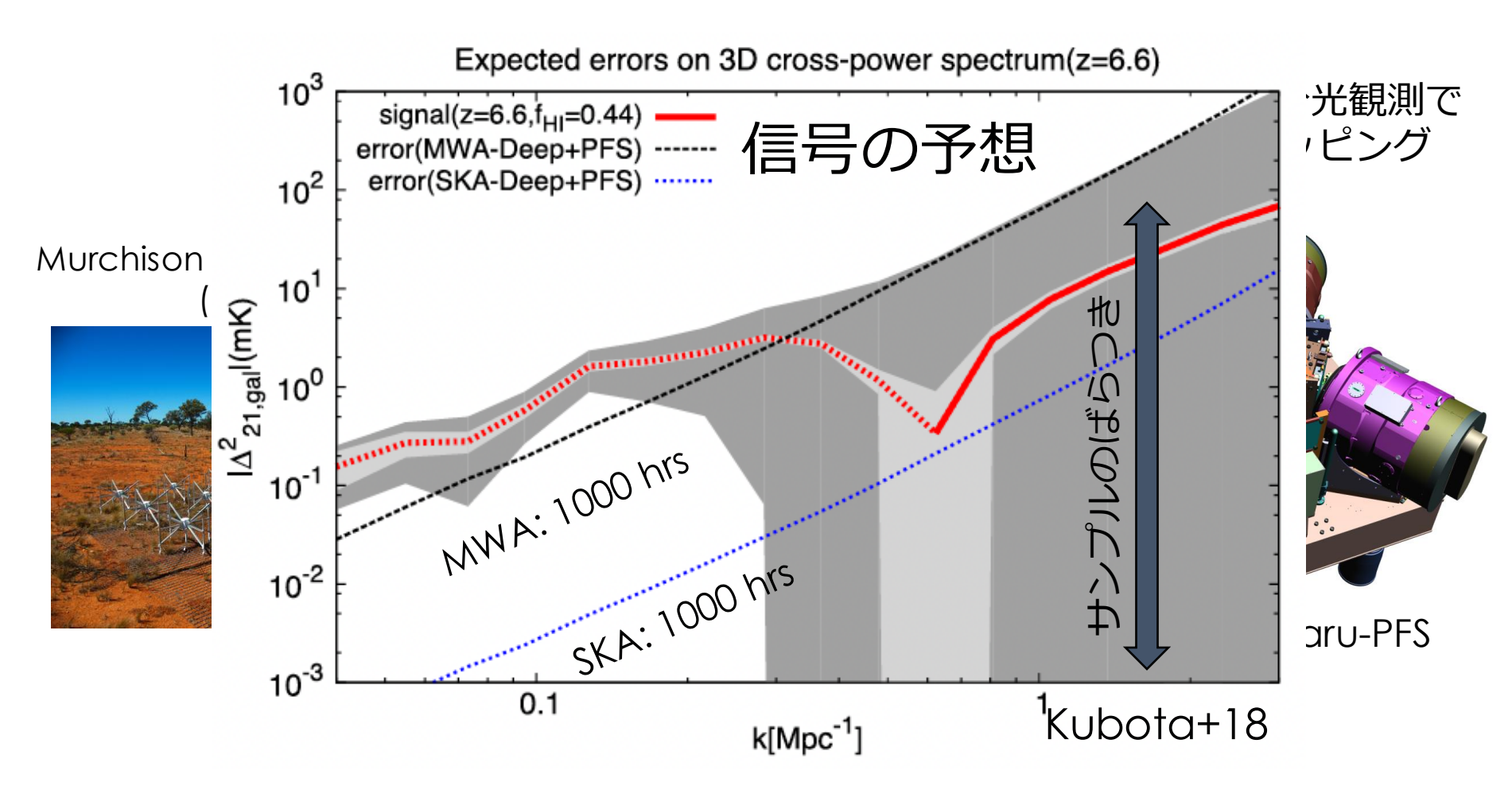




MWA+PFS: 大スケールで検出可能か?

SKA+PFS: ターンオーバースケールの検出(i.e., the Bubble Radius)

銀河-21cm線の空間相互相関



MWA+PFS: 大スケールで検出可能か?

SKA+PFS: ターンオーバースケールの検出(i.e., the Bubble Radius)

宇宙再電離研究の 現在地

- いつ始まり完了したのか? (1.再電離史)
 - →X_{III}(z)の概観を得た
- 何に引き起こされたのか? (2.電離源)
 - →観測fecと再電離史が整合せず?
 - +初期における巨大泡形成とLateシナリオ整合性?
 - *まだ観測成果はカオス:コンセンサスはない
- どう電離領域が拡大したのか? (3.電離構造)
 - →銀河周辺のIGM状態を詳細に調べる 星質量/明るさ別、などを切り口に
 - →HI21cm-LAE相互相関で複眼的に見る

まとめ

- 1. 様々なプローブを用い、宇宙再電離史研究
 - CMB, GRB, QSO, Lya
- 2. 特にJWSTによる最遠方銀河観測、またすばるによる広範囲サーベイによる宇宙再電離史の概観が得られた
- 3. 銀河固有の性質などと結び付けながら、宇宙再 電離の包括的に理解したい
- 4. 次世代望遠鏡を駆使し、宇宙再電離研究は続く
 - JWST, Roman, HiZ-GUNDAM, PFS, SKA